Chapter 3

Appendix 1

Confidence sets of models resulting from the information-theoretic approach and multi-model inference.

Table S1. Confidence set[a] of models resulting from the information-theoretic approach and multi-model inference for abundance of closed forest canopy birds in the summer (shading indicates inclusion of the variable in each model).

model no.	*K*[b]	*artificial land-cover*	*arable land-cover*	*cereal*	*tilled*	*fallow*	*horticulture*	*grassland land-cover*	*fruit tree land-cover*	*groves*	*olive*	*carob*	*citrus*	*almond & other fruit*	*vineyard land-cover*	*active viticulture*	*abandoned viticulture*	*boundary features*	*complex agriculture*	*scrub land-cover*	*scrub habitat*	*tree density*	*forest land-cover*	*forest habitat*	*unvegetated land*	*elevation*	*habitat diversity*	*spatial autocovariate*	*constant*	*AICc*[c]	*ΔAICc*[d]	*Relative likelihood*	*Akaike weights*	*Cumulative Akaike weights*
1	8				■									■				■			■							■		288.95	0.00	1.000	0.49	0.49
2	7				■									■				■			■							■		289.13	0.18	0.916	0.45	0.94
model average[e]																																		
β					0.93									0.75				0.23			1.19		1.24					0.71	-2.33					
variance					0.10									0.06				0.10			0.16		0.08					0.04	0.14					
relative importance					1.00									1.00				0.52			1.00		1.00					1.00	1.00					
95% CI					0.62									0.50				0.60			0.78		0.54					0.41	0.73					

Table S2. Confidence set[a] of models resulting from the information-theoretic approach and multi-model inference for abundance of closed forest canopy birds in the winter (shading indicates inclusion of the variable in each model).

model no.	*K*[b]	*artificial land-cover*	*arable land-cover*	*cereal*	*tilled*	*fallow*	*horticulture*	*grassland land-cover*	*fruit tree land-cover*	*groves*	*olive*	*carob*	*citrus*	*almond & other fruit*	*vineyard land-cover*	*active viticulture*	*abandoned viticulture*	*boundary features*	*complex agriculture*	*scrub land-cover*	*scrub habitat*	*tree density*	*forest land-cover*	*forest habitat*	*unvegetated land*	*elevation*	*habitat diversity*	*spatial autocovariate*	*constant*	*AICc*[c]	*ΔAICc*[d]	*Relative likelihood*	*Akaike weights*	*Cumulative Akaike weights*
1	8													■					■		■			■		■			■	162.80	0.00	1.000	0.13	0.13
2	7													■					■		■			■		■		■	■	163.10	0.30	0.860	0.11	0.24
3	8													■					■		■			■				■	■	163.36	0.57	0.753	0.10	0.34
4	7													■					■		■			■					■	163.60	0.80	0.670	0.09	0.43
5	9													■	■				■		■			■		■			■	163.80	1.00	0.606	0.08	0.51
6	7													■							■			■		■			■	163.99	1.19	0.551	0.07	0.58
7	6													■							■			■					■	164.56	1.76	0.415	0.05	0.64
8	9													■					■		■			■		■		■	■	164.67	1.87	0.392	0.05	0.69
9	8													■							■			■		■		■	■	164.97	2.17	0.338	0.04	0.74
10	8													■	■						■			■				■	■	165.06	2.27	0.322	0.04	0.78
11	8													■	■				■		■			■					■	165.10	2.31	0.316	0.04	0.82
12	9													■	■				■		■			■				■	■	165.19	2.39	0.302	0.04	0.86
13	10													■	■				■		■			■		■		■	■	165.77	2.97	0.226	0.03	0.89
14	8													■	■						■			■		■			■	165.95	3.16	0.206	0.03	0.92
15	7													■	■						■			■					■	166.56	3.76	0.153	0.02	0.94
16	9													■	■						■			■		■		■	■	166.96	4.16	0.125	0.02	0.95
model average[e]																																		
β														1.20	-0.04				-0.26	-1.31	1.32			1.58		0.08		0.06	-4.10					
variance														0.05	0.03				0.09	0.10	0.24			0.07		0.02		0.01	0.31					
relative importance														1.00	0.31				0.59	1.00	1.00			1.00		0.48		0.46	1.00					
95% CI														0.43	0.22				0.58	0.63	0.97			0.53		0.24		0.18	1.10					

Table S3. Confidence set[a] of models resulting from the information-theoretic approach and multi-model inference for species richness of closed forest canopy birds in the summer (shading indicates inclusion of the variable in each model).

model no.	*K*[b]	*artificial land-cover*	*arable land-cover*	*cereal*	*tilled*	*fallow*	*horticulture*	*grassland land-cover*	*fruit tree land-cover*	*groves*	*olive*	*carob*	*citrus*	*almond & other fruit*	*vineyard land-cover*	*active viticulture*	*abandoned viticulture*	*boundary features*	*complex agriculture*	*scrub land-cover*	*scrub habitat*	*tree density*	*forest land-cover*	*forest habitat*	*unvegetated land*	*elevation*	*habitat diversity*	*spatial autocovariate*	*constant*	*AICc*[c]	*ΔAICc*[d]	*Relative likelihood*	*Akaike weights*	*Cumulative Akaike weights*
1	6													■																243.15	0.00	1.000	0.35	0.35
2	7																				■							■		243.56	0.41	0.815	0.28	0.63
3	5																							■				■		245.22	2.07	0.355	0.12	0.75
4	6																				■			■				■		245.64	2.48	0.289	0.10	0.85
5	5													■										■				■		245.98	2.83	0.243	0.08	0.94
model average[e]																																		
β														0.05						-0.07	0.02			0.23				0.34	0.26					
variance														0.00						0.00	0.00			0.00				0.00	0.00					
relative importance														0.76						0.91	0.41			1.00				1.00	1.00					
95% CI														0.07						0.08	0.06			0.08				0.07	0.06					

Table S4. Confidence set[a] of models resulting from the information-theoretic approach and multi-model inference for species richness of closed forest canopy birds in the winter (shading indicates inclusion of the variable in each model).

model no.	*K*[b]	*artificial land-cover*	*arable land-cover*	*cereal*	*tilled*	*fallow*	*horticulture*	*grassland land-cover*	*fruit tree land-cover*	*groves*	*olive*	*carob*	*citrus*	*almond & other fruit*	*vineyard land-cover*	*active viticulture*	*abandoned viticulture*	*boundary features*	*complex agriculture*	*scrub land-cover*	*scrub habitat*	*tree density*	*forest land-cover*	*forest habitat*	*unvegetated land*	*elevation*	*habitat diversity*	*spatial autocovariate*	*constant*	*AICc*[c]	*ΔAICc*[d]	*Relative likelihood*	*Akaike weights*	*Cumulative Akaike weights*
1	5																													169.86	0.00	1.000	0.36	0.36
2	6																													170.65	0.79	0.673	0.24	0.60
3	6																													170.77	0.92	0.633	0.23	0.83
4	7																													171.57	1.71	0.425	0.15	0.98
model average[e]																																		
β														0.01							0.01		-0.09	0.29				0.20	0.17					
variance														0.00							0.00		0.00	0.00				0.00	0.00					
relative importance														0.39							0.40		1.00	1.00				1.00	1.00					
95% CI														0.04							0.05		0.06	0.06				0.06	0.05					

Table S5. Confidence set[a] of models resulting from the information-theoretic approach and multi-model inference for abundance of open forest or wood edge birds in the summer, model (a) (shading indicates inclusion of the variable in each model).

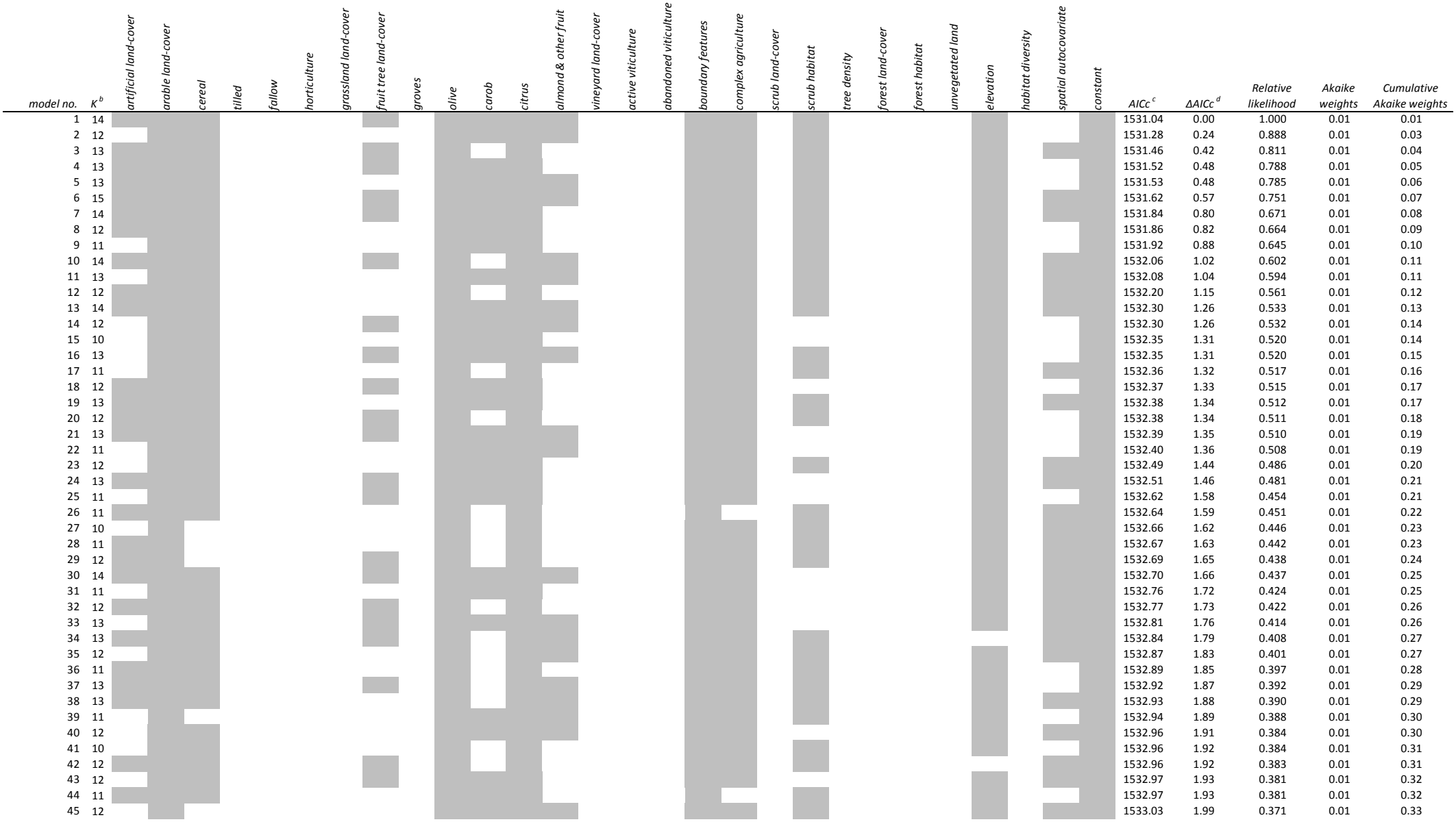

model no.	K[b]	AICc[c]	ΔAICc[d]	Relative likelihood	Akaike weights	Cumulative Akaike weights
1	14	1531.04	0.00	1.000	0.01	0.01
2	12	1531.28	0.24	0.888	0.01	0.03
3	13	1531.46	0.42	0.811	0.01	0.04
4	13	1531.52	0.48	0.788	0.01	0.05
5	13	1531.53	0.48	0.785	0.01	0.06
6	15	1531.62	0.57	0.751	0.01	0.07
7	14	1531.84	0.80	0.671	0.01	0.08
8	12	1531.86	0.82	0.664	0.01	0.09
9	11	1531.92	0.88	0.645	0.01	0.10
10	14	1532.06	1.02	0.602	0.01	0.11
11	13	1532.08	1.04	0.594	0.01	0.11
12	12	1532.20	1.15	0.561	0.01	0.12
13	14	1532.30	1.26	0.533	0.01	0.13
14	12	1532.30	1.26	0.532	0.01	0.14
15	10	1532.35	1.31	0.520	0.01	0.14
16	13	1532.35	1.31	0.520	0.01	0.15
17	11	1532.36	1.32	0.517	0.01	0.16
18	12	1532.37	1.33	0.515	0.01	0.17
19	13	1532.38	1.34	0.512	0.01	0.17
20	12	1532.38	1.34	0.511	0.01	0.18
21	13	1532.39	1.35	0.510	0.01	0.19
22	11	1532.40	1.36	0.508	0.01	0.19
23	12	1532.49	1.44	0.486	0.01	0.20
24	13	1532.51	1.46	0.481	0.01	0.21
25	11	1532.62	1.58	0.454	0.01	0.21
26	11	1532.64	1.59	0.451	0.01	0.22
27	10	1532.66	1.62	0.446	0.01	0.23
28	11	1532.67	1.63	0.442	0.01	0.23
29	12	1532.69	1.65	0.438	0.01	0.24
30	14	1532.70	1.66	0.437	0.01	0.25
31	11	1532.76	1.72	0.424	0.01	0.25
32	12	1532.77	1.73	0.422	0.01	0.26
33	13	1532.81	1.76	0.414	0.01	0.26
34	13	1532.84	1.79	0.408	0.01	0.27
35	12	1532.87	1.83	0.401	0.01	0.27
36	11	1532.89	1.85	0.397	0.01	0.28
37	13	1532.92	1.87	0.392	0.01	0.29
38	13	1532.93	1.88	0.390	0.01	0.29
39	11	1532.94	1.89	0.388	0.01	0.30
40	12	1532.96	1.91	0.384	0.01	0.30
41	10	1532.96	1.92	0.384	0.01	0.31
42	12	1532.96	1.92	0.383	0.01	0.31
43	12	1532.97	1.93	0.381	0.01	0.32
44	11	1532.97	1.93	0.381	0.01	0.32
45	12	1533.03	1.99	0.371	0.01	0.33

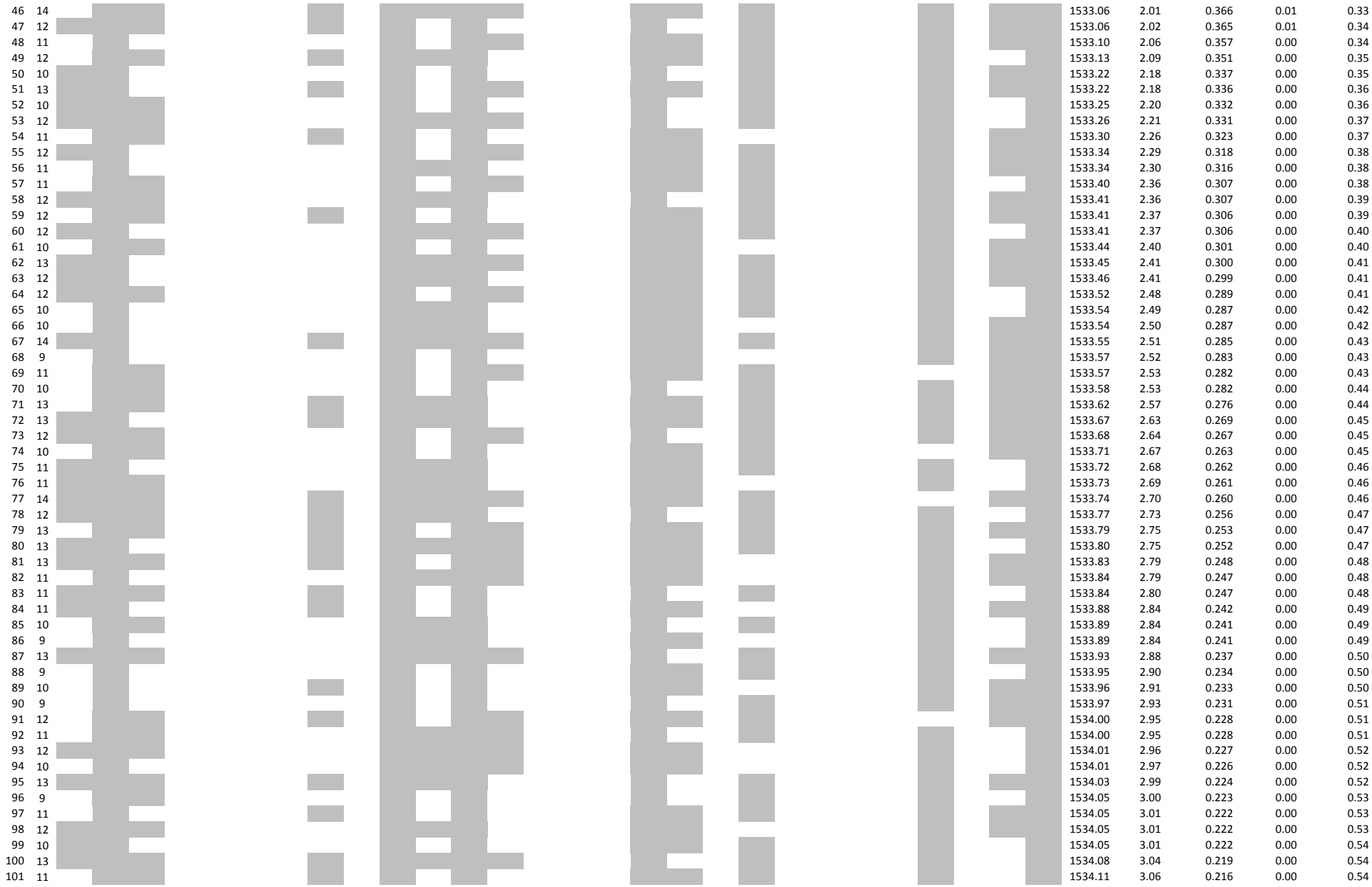

46	14	1533.06	2.01	0.366	0.01	0.33
47	12	1533.06	2.02	0.365	0.01	0.34
48	11	1533.10	2.06	0.357	0.00	0.34
49	12	1533.13	2.09	0.351	0.00	0.35
50	10	1533.22	2.18	0.337	0.00	0.35
51	13	1533.22	2.18	0.336	0.00	0.36
52	10	1533.25	2.20	0.332	0.00	0.36
53	12	1533.26	2.21	0.331	0.00	0.37
54	11	1533.30	2.26	0.323	0.00	0.37
55	12	1533.34	2.29	0.318	0.00	0.38
56	11	1533.34	2.30	0.316	0.00	0.38
57	11	1533.40	2.36	0.307	0.00	0.38
58	12	1533.41	2.36	0.307	0.00	0.39
59	12	1533.41	2.37	0.306	0.00	0.39
60	12	1533.41	2.37	0.306	0.00	0.40
61	10	1533.44	2.40	0.301	0.00	0.40
62	13	1533.45	2.41	0.300	0.00	0.41
63	12	1533.46	2.41	0.299	0.00	0.41
64	12	1533.52	2.48	0.289	0.00	0.41
65	10	1533.54	2.49	0.287	0.00	0.42
66	10	1533.54	2.50	0.287	0.00	0.42
67	14	1533.55	2.51	0.285	0.00	0.43
68	9	1533.57	2.52	0.283	0.00	0.43
69	11	1533.57	2.53	0.282	0.00	0.43
70	10	1533.58	2.53	0.282	0.00	0.44
71	13	1533.62	2.57	0.276	0.00	0.44
72	13	1533.67	2.63	0.269	0.00	0.45
73	12	1533.68	2.64	0.267	0.00	0.45
74	10	1533.71	2.67	0.263	0.00	0.45
75	11	1533.72	2.68	0.262	0.00	0.46
76	11	1533.73	2.69	0.261	0.00	0.46
77	14	1533.74	2.70	0.260	0.00	0.46
78	12	1533.77	2.73	0.256	0.00	0.47
79	13	1533.79	2.75	0.253	0.00	0.47
80	13	1533.80	2.75	0.252	0.00	0.47
81	13	1533.83	2.79	0.248	0.00	0.48
82	11	1533.84	2.79	0.247	0.00	0.48
83	11	1533.84	2.80	0.247	0.00	0.48
84	11	1533.88	2.84	0.242	0.00	0.49
85	10	1533.89	2.84	0.241	0.00	0.49
86	9	1533.89	2.84	0.241	0.00	0.49
87	13	1533.93	2.88	0.237	0.00	0.50
88	9	1533.95	2.90	0.234	0.00	0.50
89	10	1533.96	2.91	0.233	0.00	0.50
90	9	1533.97	2.93	0.231	0.00	0.51
91	12	1534.00	2.95	0.228	0.00	0.51
92	11	1534.00	2.95	0.228	0.00	0.51
93	12	1534.01	2.96	0.227	0.00	0.52
94	10	1534.01	2.97	0.226	0.00	0.52
95	13	1534.03	2.99	0.224	0.00	0.52
96	9	1534.05	3.00	0.223	0.00	0.53
97	11	1534.05	3.01	0.222	0.00	0.53
98	12	1534.05	3.01	0.222	0.00	0.53
99	10	1534.05	3.01	0.222	0.00	0.54
100	13	1534.08	3.04	0.219	0.00	0.54
101	11	1534.11	3.06	0.216	0.00	0.54

102	13	1534.11	3.07	0.216	0.00	0.55
103	12	1534.13	3.09	0.213	0.00	0.55
104	11	1534.19	3.15	0.207	0.00	0.55
105	11	1534.20	3.16	0.206	0.00	0.55
106	11	1534.21	3.17	0.205	0.00	0.56
107	12	1534.21	3.17	0.205	0.00	0.56
108	11	1534.22	3.18	0.204	0.00	0.56
109	12	1534.24	3.19	0.203	0.00	0.57
110	11	1534.24	3.19	0.202	0.00	0.57
111	11	1534.25	3.21	0.201	0.00	0.57
112	12	1534.26	3.21	0.201	0.00	0.57
113	12	1534.28	3.24	0.198	0.00	0.58
114	11	1534.29	3.25	0.197	0.00	0.58
115	10	1534.30	3.26	0.196	0.00	0.58
116	12	1534.30	3.26	0.196	0.00	0.58
117	9	1534.33	3.29	0.193	0.00	0.59
118	10	1534.34	3.30	0.192	0.00	0.59
119	11	1534.36	3.31	0.191	0.00	0.59
120	13	1534.38	3.33	0.189	0.00	0.60
121	12	1534.38	3.34	0.188	0.00	0.60
122	11	1534.39	3.34	0.188	0.00	0.60
123	10	1534.42	3.37	0.185	0.00	0.60
124	12	1534.42	3.38	0.185	0.00	0.61
125	11	1534.46	3.41	0.181	0.00	0.61
126	12	1534.46	3.41	0.181	0.00	0.61
127	10	1534.47	3.43	0.180	0.00	0.61
128	11	1534.48	3.44	0.179	0.00	0.62
129	11	1534.48	3.44	0.179	0.00	0.62
130	13	1534.49	3.45	0.178	0.00	0.62
131	9	1534.51	3.47	0.177	0.00	0.62
132	11	1534.54	3.50	0.174	0.00	0.63
133	13	1534.54	3.50	0.174	0.00	0.63
134	11	1534.58	3.54	0.171	0.00	0.63
135	14	1534.59	3.54	0.170	0.00	0.63
136	9	1534.59	3.55	0.169	0.00	0.64
137	11	1534.59	3.55	0.169	0.00	0.64
138	9	1534.60	3.55	0.169	0.00	0.64
139	13	1534.62	3.58	0.167	0.00	0.64
140	13	1534.62	3.58	0.167	0.00	0.64
141	13	1534.63	3.58	0.167	0.00	0.65
142	9	1534.64	3.60	0.165	0.00	0.65
143	11	1534.67	3.62	0.163	0.00	0.65
144	10	1534.67	3.62	0.163	0.00	0.65
145	12	1534.72	3.67	0.159	0.00	0.66
146	10	1534.72	3.68	0.159	0.00	0.66
147	10	1534.74	3.70	0.157	0.00	0.66
148	12	1534.75	3.71	0.157	0.00	0.66
149	11	1534.77	3.73	0.155	0.00	0.67
150	8	1534.77	3.73	0.155	0.00	0.67
151	11	1534.80	3.75	0.153	0.00	0.67
152	12	1534.80	3.76	0.153	0.00	0.67
153	12	1534.80	3.76	0.153	0.00	0.67
154	12	1534.81	3.77	0.152	0.00	0.68
155	10	1534.84	3.80	0.150	0.00	0.68
156	12	1534.85	3.81	0.149	0.00	0.68
157	10	1534.85	3.81	0.149	0.00	0.68

158	10																	1534.88	3.84	0.147	0.00	0.68
159	11																	1534.89	3.85	0.146	0.00	0.69
160	12																	1534.91	3.86	0.145	0.00	0.69
161	12																	1534.91	3.87	0.144	0.00	0.69
162	11																	1534.95	3.90	0.142	0.00	0.69
163	13																	1534.98	3.94	0.140	0.00	0.69
164	10																	1534.99	3.95	0.139	0.00	0.70
165	10																	1534.99	3.95	0.139	0.00	0.70
166	10																	1535.04	3.99	0.136	0.00	0.70
167	11																	1535.04	4.00	0.136	0.00	0.70
168	11																	1535.08	4.04	0.133	0.00	0.70
169	12																	1535.10	4.05	0.132	0.00	0.71
170	8																	1535.11	4.07	0.131	0.00	0.71
171	11																	1535.12	4.08	0.130	0.00	0.71
172	12																	1535.13	4.08	0.130	0.00	0.71
173	13																	1535.14	4.10	0.129	0.00	0.71
174	11																	1535.17	4.12	0.127	0.00	0.71
175	12																	1535.17	4.13	0.127	0.00	0.72
176	11																	1535.18	4.13	0.127	0.00	0.72
177	11																	1535.18	4.14	0.126	0.00	0.72
model average [e]																						
β		0.06	-0.43	-0.09		-0.05	0.18	0.06	0.27	0.04		0.21	-0.12	0.10		0.14	0.06	2.76				
variance		0.01	0.01	0.01		0.01	0.01	0.01	0.00	0.00		0.01	0.01	0.01		0.01	0.01	0.00				
relative importance		0.54	1.00	0.71		0.47	1.00	0.56	1.00	0.47		1.00	0.83	0.72		0.90	0.59	1.00				
95% CI		0.14	0.18	0.15		0.14	0.14	0.15	0.14	0.13		0.15	0.17	0.17		0.17	0.15	0.11				

Table S6. Confidence set[a] of models resulting from the information-theoretic approach and multi-model inference for abundance of open forest or wood edge birds in the summer, model (c) (shading indicates inclusion of the variable in each model).

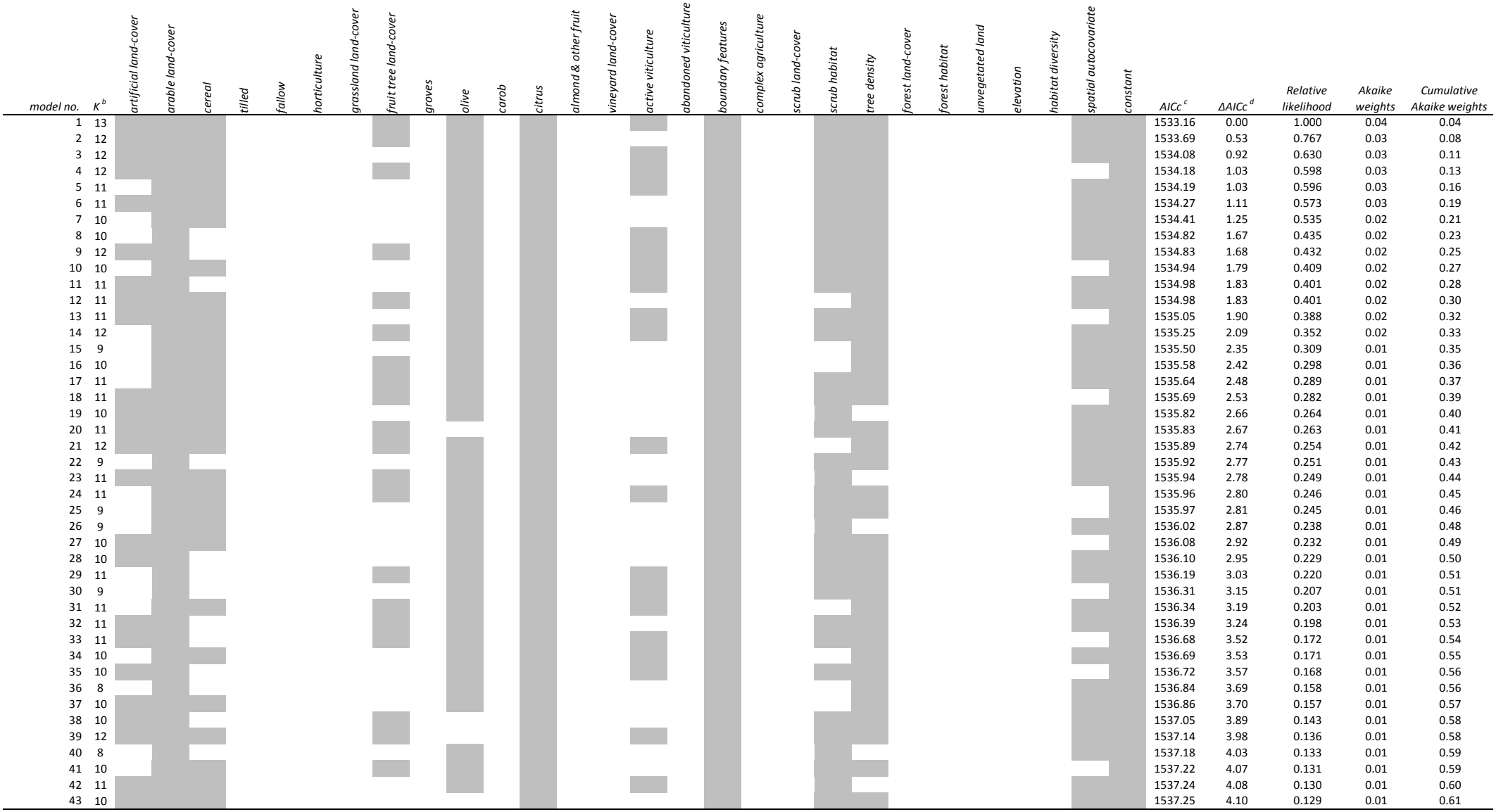

model no.	K[b]	artificial land-cover	arable land-cover	cereal	tilled	fallow	horticulture	grassland land-cover	fruit tree land-cover	groves	olive	carob	citrus	almond & other fruit	vineyard land-cover	active viticulture	abandoned viticulture	boundary features	complex agriculture	scrub land-cover	scrub habitat	tree density	forest land-cover	forest habitat	unvegetated land	elevation	habitat diversity	spatial autocovariate	constant	AICc[c]	ΔAICc[d]	Relative likelihood	Akaike weights	Cumulative Akaike weights
1	13	■	■	■					■		■		■			■		■			■	■						■	■	1533.16	0.00	1.000	0.04	0.04
2	12	■	■	■					■		■		■					■			■	■						■	■	1533.69	0.53	0.767	0.03	0.08
3	12	■	■	■							■		■			■		■			■	■						■	■	1534.08	0.92	0.630	0.03	0.11
4	12	■	■	■					■		■		■			■		■			■	■						■		1534.18	1.03	0.598	0.03	0.13
5	11		■	■							■		■			■		■			■	■						■	■	1534.19	1.03	0.596	0.03	0.16
6	11	■	■	■							■		■			■		■			■	■						■	■	1534.27	1.11	0.573	0.03	0.19
7	10		■	■							■		■					■			■	■						■	■	1534.41	1.25	0.535	0.02	0.21
8	10		■								■		■			■		■			■	■						■	■	1534.82	1.67	0.435	0.02	0.23
9	12	■	■	■					■		■		■			■		■			■	■						■	■	1534.83	1.68	0.432	0.02	0.25
10	10		■	■							■		■			■		■			■	■						■		1534.94	1.79	0.409	0.02	0.27
11	11	■	■								■		■			■		■			■	■						■	■	1534.98	1.83	0.401	0.02	0.28
12	11	■	■	■					■		■		■					■				■						■	■	1534.98	1.83	0.401	0.02	0.30
13	11	■	■								■		■			■		■			■	■						■		1535.05	1.90	0.388	0.02	0.32
14	12		■	■					■		■		■			■		■			■	■						■	■	1535.25	2.09	0.352	0.02	0.33
15	9		■	■							■		■					■				■						■	■	1535.50	2.35	0.309	0.01	0.35
16	10		■	■					■		■		■					■				■						■	■	1535.58	2.42	0.298	0.01	0.36
17	11		■	■					■		■		■					■			■	■						■	■	1535.64	2.48	0.289	0.01	0.37
18	11	■	■	■					■		■		■					■			■	■						■		1535.69	2.53	0.282	0.01	0.39
19	10	■	■	■							■		■					■			■							■	■	1535.82	2.66	0.264	0.01	0.40
20	11	■	■	■					■				■					■			■	■						■	■	1535.83	2.67	0.263	0.01	0.41
21	12	■	■	■					■		■		■			■		■			■	■						■	■	1535.89	2.74	0.254	0.01	0.42
22	9		■								■		■					■			■	■						■	■	1535.92	2.77	0.251	0.01	0.43
23	11	■	■	■					■		■		■					■			■							■	■	1535.94	2.78	0.249	0.01	0.44
24	11		■	■					■		■		■			■		■			■	■							■	1535.96	2.80	0.246	0.01	0.45
25	9		■	■							■		■					■			■	■							■	1535.97	2.81	0.245	0.01	0.46
26	9		■	■							■		■					■				■						■	■	1536.02	2.87	0.238	0.01	0.48
27	10	■	■	■							■		■					■			■	■						■		1536.08	2.92	0.232	0.01	0.49
28	10	■	■								■		■					■			■	■						■	■	1536.10	2.95	0.229	0.01	0.50
29	11		■						■		■		■			■		■			■	■						■	■	1536.19	3.03	0.220	0.01	0.51
30	9		■								■		■			■		■			■	■						■		1536.31	3.15	0.207	0.01	0.51
31	11		■	■					■		■		■			■		■			■	■						■	■	1536.34	3.19	0.203	0.01	0.52
32	11	■	■						■		■		■					■			■	■						■	■	1536.39	3.24	0.198	0.01	0.53
33	11	■	■								■		■			■		■			■	■						■		1536.68	3.52	0.172	0.01	0.54
34	10		■	■							■		■			■		■			■	■						■	■	1536.69	3.53	0.171	0.01	0.55
35	10	■	■								■		■			■		■			■	■						■		1536.72	3.57	0.168	0.01	0.56
36	8		■								■		■					■			■	■						■	■	1536.84	3.69	0.158	0.01	0.56
37	10	■	■	■							■		■					■			■	■						■	■	1536.86	3.70	0.157	0.01	0.57
38	10	■	■						■				■					■			■	■						■	■	1537.05	3.89	0.143	0.01	0.58
39	12	■	■	■					■				■			■		■			■	■						■	■	1537.14	3.98	0.136	0.01	0.58
40	8		■								■		■					■			■							■	■	1537.18	4.03	0.133	0.01	0.59
41	10		■	■					■		■		■					■			■	■						■		1537.22	4.07	0.131	0.01	0.59
42	11	■	■	■							■		■			■		■			■							■	■	1537.24	4.08	0.130	0.01	0.60
43	10	■	■	■									■					■			■	■						■	■	1537.25	4.10	0.129	0.01	0.61

model average [e]													
β	0.07	-0.38	-0.10	-0.05	0.15	0.21	0.06	0.23	0.13	0.14	0.10	2.76
variance	0.01	0.01	0.01	0.01	0.01	0.00	0.01	0.01	0.01	0.01	0.01	0.00
relative importance	0.60	1.00	0.77	0.49	0.95	1.00	0.52	1.00	0.86	0.93	0.77	1.00
95% CI	0.15	0.16	0.15	0.14	0.14	0.13	0.16	0.15	0.17	0.14	0.16	0.11

Table S7. Confidence set[a] of models resulting from the information-theoretic approach and multi-model inference for abundance of open forest or wood edge birds in the winter (shading indicates inclusion of the variable in each model).

model no.	*K*[b]	*artificial land-cover*	*arable land-cover*	*cereal*	*tilled*	*fallow*	*horticulture*	*grassland land-cover*	*fruit tree land-cover*	*groves*	*olive*	*carob*	*citrus*	*almond & other fruit*	*vineyard land-cover*	*active viticulture*	*abandoned viticulture*	*boundary features*	*complex agriculture*	*scrub land-cover*	*scrub habitat*	*tree density*	*forest land-cover*	*forest habitat*	*unvegetated land*	*elevation*	*habitat diversity*	*spatial autocovariate*	*constant*	*AICc*[c]	*ΔAICc*[d]	*Relative likelihood*	*Akaike weights*	*Cumulative Akaike weights*
1	13																													1724.65	0.00	1.000	0.50	0.50
2	12																													1727.76	3.11	0.211	0.10	0.60
3	12																													1728.21	3.56	0.168	0.08	0.68
4	12																													1728.33	3.68	0.159	0.08	0.76
model average[e]																																		
β				-0.13					0.16		0.31		0.10	0.16	0.30			-0.31	0.18			-0.13				0.36		0.19	3.31					
variance				0.01					0.00		0.00		0.00	0.00	0.00			0.00	0.00			0.01				0.01		0.00	0.00					
relative importance				0.89					1.00		1.00		0.86	1.00	1.00			1.00	1.00			0.90				1.00		1.00	1.00					
95% CI				0.14					0.11		0.13		0.13	0.13	0.12			0.14	0.12			0.13				0.15		0.11	0.10					

Table S8. Confidence set[a] of models resulting from the information-theoretic approach and multi-model inference for species richness of open forest or wood edge birds in the summer (shading indicates inclusion of the variable in each model).

model no.	*K*[b]	*artificial land-cover*	*arable land-cover*	*cereal*	*tilled*	*fallow*	*horticulture*	*grassland land-cover*	*fruit tree land-cover*	*groves*	*olive*	*carob*	*citrus*	*almond & other fruit*	*vineyard land-cover*	*active viticulture*	*abandoned viticulture*	*boundary features*	*complex agriculture*	*scrub land-cover*	*scrub habitat*	*tree density*	*forest land-cover*	*forest habitat*	*unvegetated land*	*elevation*	*habitat diversity*	*spatial autocovariate*	*constant*	*AICc*[c]	*ΔAICc*[d]	*Relative likelihood*	*Akaike weights*	*Cumulative Akaike weights*
1	9	■	■	■						■						■	■							■					■	814.05	0.00	1.000	0.20	0.20
2	8	■		■						■						■	■							■					■	814.74	0.69	0.708	0.14	0.34
3	8	■	■	■						■						■								■					■	814.80	0.75	0.687	0.14	0.48
4	10	■	■	■						■						■	■							■				■	■	814.94	0.89	0.640	0.13	0.61
5	9	■		■						■						■								■				■	■	814.99	0.94	0.624	0.13	0.74
6	7	■	■	■						■						■	■							■					■	815.19	1.14	0.565	0.11	0.85
7	8	■		■						■						■								■				■	■	816.13	2.08	0.353	0.07	0.92
8	9	■	■	■						■						■	■							■				■	■	816.22	2.17	0.338	0.07	0.99
model average[e]																																		
β		0.46	-0.13	-0.71						0.89						0.68	-0.16							0.57				0.06	4.09					
variance		0.02	0.03	0.02						0.02						0.03	0.03							0.02				0.01	0.02					
relative importance		1.00	0.54	1.00						1.00						1.00	0.60							1.00				0.40	1.00					
95% CI		0.25	0.33	0.27						0.28						0.35	0.36							0.30				0.21	0.25					

Table S9. Confidence set[a] of models resulting from the information-theoretic approach and multi-model inference for species richness of open forest or wood edge birds in the winter (shading indicates inclusion of the variable in each model).

model no.	*K*[b]	*artificial land-cover*	*arable land-cover*	*cereal*	*tilled*	*fallow*	*horticulture*	*grassland land-cover*	*fruit tree land-cover*	*groves*	*olive*	*carob*	*citrus*	*almond & other fruit*	*vineyard land-cover*	*active viticulture*	*abandoned viticulture*	*boundary features*	*complex agriculture*	*scrub land-cover*	*scrub habitat*	*tree density*	*forest land-cover*	*forest habitat*	*unvegetated land*	*elevation*	*habitat diversity*	*spatial autocovariate*	*constant*	*AICc*[c]	*ΔAICc*[d]	*Relative likelihood*	*Akaike weights*	*Cumulative Akaike weights*
1	8																													833.26	0.00	1.000	0.73	0.73
2	7																													837.08	3.82	0.148	0.11	0.84
model average[e]																																		
β			-0.56							1.43						0.66					0.32					-0.38		0.49	6.20					
variance			0.03							0.02						0.03					0.04					0.03		0.02	0.02					
relative importance			1.00							1.00						1.00					0.87					1.00		1.00	1.00					
95% CI			0.34							0.29						0.32					0.36					0.32		0.30	0.26					

Table S10. Confidence set[a] of models resulting from the information-theoretic approach and multi-model inference for abundance of shrub layer and scrubland birds in the summer (shading indicates inclusion of the variable in each model).

model no.	*Kb*	*artificial land-cover*	*arable land-cover*	*cereal*	*tilled*	*fallow*	*horticulture*	*grassland land-cover*	*fruit tree land-cover*	*groves*	*olive*	*carob*	*citrus*	*almond & other fruit*	*vineyard land-cover*	*active viticulture*	*abandoned viticulture*	*boundary features*	*complex agriculture*	*scrub land-cover*	*scrub habitat*	*tree density*	*forest land-cover*	*forest habitat*	*unvegetated land*	*elevation*	*habitat diversity*	*spatial autocovariate*	*constant*	*AICc*[c]	*ΔAICc*[d]	*Relative likelihood*	*Akaike weights*	*Cumulative Akaike weights*
1	10	■								■						■					■	■	■	■				■		1212.84	0.00	1.000	0.30	0.30
2	9	■								■						■					■	■		■				■		1213.22	0.38	0.825	0.25	0.56
3	8	■								■						■					■	■						■		1213.70	0.86	0.650	0.20	0.75
4	9	■								■						■					■	■		■				■		1214.97	2.13	0.344	0.10	0.86
model average[e]																																		
β		0.21								0.25						0.22				0.09	0.43	-0.30	0.06					0.48	1.88					
variance		0.01								0.01						0.00				0.01	0.01	0.01	0.01					0.00	0.00					
relative importance		1.00								1.00						1.00				0.65	1.00	1.00	0.48					1.00	1.00					
95% CI		0.15								0.15						0.14				0.18	0.18	0.20	0.19					0.14	0.13					

Table S11. Confidence set[a] of models resulting from the information-theoretic approach and multi-model inference for abundance of shrub layer and scrubland birds in the winter, model (b) (shading indicates inclusion of the variable in each model).

model no.	*K*[b]	*artificial land-cover*	*arable land-cover*	*cereal*	*tilled*	*fallow*	*horticulture*	*grassland land-cover*	*fruit tree land-cover*	*groves*	*olive*	*carob*	*citrus*	*almond & other fruit*	*vineyard land-cover*	*active viticulture*	*abandoned viticulture*	*boundary features*	*complex agriculture*	*scrub land-cover*	*scrub habitat*	*tree density*	*forest land-cover*	*forest habitat*	*unvegetated land*	*elevation*	*habitat diversity*	*spatial autocovariate*	*constant*	*AICc*[c]	*ΔAICc*[d]	*Relative likelihood*	*Akaike weights*	*Cumulative Akaike weights*
1	10	■		■					■									■				■					■	■	■	1072.69	0.00	1.000	0.14	0.14
2	9	■		■					■									■				■					■	■	■	1073.14	0.45	0.798	0.11	0.26
3	10	■		■					■									■			■						■	■	■	1073.16	0.46	0.793	0.11	0.37
4	11	■		■					■									■			■	■					■	■	■	1073.47	0.78	0.677	0.10	0.47
5	11	■		■					■						■			■				■					■	■	■	1074.53	1.84	0.399	0.06	0.53
6	9			■					■									■			■	■					■	■	■	1074.88	2.18	0.336	0.05	0.57
7	10			■					■									■			■	■					■	■	■	1074.88	2.19	0.334	0.05	0.62
8	10	■		■											■			■				■					■	■	■	1074.99	2.30	0.316	0.05	0.67
9	11	■		■											■			■			■	■					■	■	■	1075.15	2.46	0.293	0.04	0.71
10	9			■					■									■				■					■	■	■	1075.41	2.72	0.257	0.04	0.75
11	12	■		■					■						■			■			■	■					■	■	■	1075.45	2.76	0.252	0.04	0.78
12	9	■																■			■	■					■	■	■	1076.75	4.06	0.131	0.02	0.80
13	8			■														■				■					■	■	■	1076.79	4.09	0.129	0.02	0.82
model average[e]																																	
β		-0.08		-0.13					-0.04						0.00			-0.22			0.04	-0.35	-0.31				0.26	0.25	1.72					
variance		0.00		0.00					0.00						0.00			0.00			0.00	0.01	0.01				0.00	0.00	0.00					
relative importance		0.82		0.98					0.51						0.22			1.00			0.49	1.00	1.00				1.00	1.00	1.00					
95% CI		0.12		0.10					0.11						0.02			0.13			0.12	0.18	0.16				0.13	0.10	0.09					

Table S12. Confidence set[a] of models resulting from the information-theoretic approach and multi-model inference for abundance of shrub layer and scrubland birds in the winter, model (c) (shading indicates inclusion of the variable in each model).

model no.	*K*[b]	*artificial land-cover*	*arable land-cover*	*cereal*	*tilled*	*fallow*	*horticulture*	*grassland land-cover*	*fruit tree land-cover*	*groves*	*olive*	*carob*	*citrus*	*almond & other fruit*	*vineyard land-cover*	*active viticulture*	*abandoned viticulture*	*boundary features*	*complex agriculture*	*scrub land-cover*	*scrub habitat*	*tree density*	*forest land-cover*	*forest habitat*	*unvegetated land*	*elevation*	*habitat diversity*	*spatial autocovariate*	*constant*	*AICc*[c]	*ΔAICc*[d]	*Relative likelihood*	*Akaike weights*	*Cumulative Akaike weights*
1	13	■		■					■							■		■			■	■				■	■	■	■	1059.00	0.00	1.000	0.22	0.22
2	12	■		■					■							■		■				■				■	■	■	■	1059.59	0.59	0.746	0.17	0.39
3	12			■					■							■		■			■	■				■	■	■	■	1060.93	1.93	0.381	0.08	0.47
4	11	■		■					■									■				■				■	■	■	■	1061.25	2.25	0.325	0.07	0.54
5	12	■		■												■		■			■	■				■	■	■	■	1061.49	2.49	0.288	0.06	0.61
6	12	■		■					■									■			■	■				■	■	■	■	1062.36	3.35	0.187	0.04	0.65
7	10	■		■														■				■				■	■	■	■	1063.01	4.00	0.135	0.03	0.68
model average[e]																																		
β		-0.09		-0.20					-0.10							0.10		-0.18			0.07	-0.31	-0.22			-0.33	0.30	0.18	1.70					
variance		0.00		0.00					0.00							0.01		0.00			0.01	0.01	0.01			0.01	0.01	0.00	0.00					
relative importance		0.88		1.00					0.86							0.79		1.00			0.61	1.00	1.00			1.00	1.00	1.00	1.00					
95% CI		0.11		0.11					0.12							0.14		0.13			0.15	0.18	0.16			0.18	0.14	0.10	0.09					

Table S13. Confidence set[a] of models resulting from the information-theoretic approach and multi-model inference for species richness of shrub layer and scrubland birds in the summer (shading indicates inclusion of the variable in each model).

model no.	*K*[b]	*artificial land-cover*	*arable land-cover*	*cereal*	*tilled*	*fallow*	*horticulture*	*grassland land-cover*	*fruit tree land-cover*	*groves*	*olive*	*carob*	*citrus*	*almond & other fruit*	*vineyard land-cover*	*active viticulture*	*abandoned viticulture*	*boundary features*	*complex agriculture*	*scrub land-cover*	*scrub habitat*	*tree density*	*forest land-cover*	*forest habitat*	*unvegetated land*	*elevation*	*habitat diversity*	*spatial autocovariate*	*constant*	*AICc*[c]	*ΔAICc*[d]	*Relative likelihood*	*Akaike weights*	*Cumulative Akaike weights*
1	11			■						■						■		■			■	■	■	■				■	■	536.47	0.00	1.000	0.15	0.15
2	10			■						■						■		■			■	■	■					■	■	536.65	0.18	0.914	0.14	0.29
3	9			■						■						■		■			■	■						■	■	537.42	0.95	0.622	0.10	0.39
4	10			■						■						■		■				■	■	■				■	■	538.54	2.07	0.355	0.05	0.44
5	10			■												■		■			■	■	■	■				■	■	538.78	2.31	0.314	0.05	0.49
6	9			■												■		■			■	■						■	■	538.86	2.39	0.302	0.05	0.54
7	10			■						■						■		■			■	■	■	■					■	538.93	2.46	0.292	0.04	0.58
8	9			■						■						■		■			■	■							■	539.08	2.61	0.271	0.04	0.63
9	8			■						■						■		■			■	■								539.48	3.01	0.222	0.03	0.66
10	10			■						■						■		■			■	■	■	■				■	■	540.38	3.91	0.141	0.02	0.68
11	10			■												■		■			■	■	■	■				■	■	540.45	3.98	0.137	0.02	0.70
12	9			■						■						■		■			■		■	■				■	■	540.52	4.05	0.132	0.02	0.72
13	9			■						■						■		■			■	■							■	540.56	4.09	0.129	0.02	0.74
model average[e]																																		
β				-0.16						0.17						0.31		-0.24		0.11	0.20	-0.20	0.07					0.12	1.41						
variance				0.01						0.01						0.01		0.01		0.01	0.01	0.01	0.01					0.01	0.00						
relative importance				0.97						0.91						1.00		1.00		0.73	0.93	0.97	0.49					0.81	1.00						
95% CI				0.14						0.18						0.14		0.17		0.19	0.18	0.17	0.19					0.16	0.12						

Table S14. Confidence set[a] of models resulting from the information-theoretic approach and multi-model inference for species richness of shrub layer and scrubland birds in the winter (shading indicates inclusion of the variable in each model).

model no.	*K*[b]	*artificial land-cover*	*arable land-cover*	*cereal*	*tilled*	*fallow*	*horticulture*	*grassland land-cover*	*fruit tree land-cover*	*groves*	*olive*	*carob*	*citrus*	*almond & other fruit*	*vineyard land-cover*	*active viticulture*	*abandoned viticulture*	*boundary features*	*complex agriculture*	*scrub land-cover*	*scrub habitat*	*tree density*	*forest land-cover*	*forest habitat*	*unvegetated land*	*elevation*	*habitat diversity*	*spatial autocovariate*	*constant*	*AICc*[c]	*ΔAICc*[d]	*Relative likelihood*	*Akaike weights*	*Cumulative Akaike weights*
1	10			■					■									■				■				■	■	■	■	469.53	0.00	1.000	0.39	0.39
2	9			■					■									■				■				■	■		■	471.46	1.94	0.380	0.15	0.54
3	9			■					■									■								■	■	■	■	472.12	2.59	0.274	0.11	0.64
4	9			■					■									■				■					■	■	■	472.13	2.61	0.271	0.11	0.75
5	8			■					■									■				■					■	■	■	473.59	4.06	0.131	0.05	0.80
model average[e]																																		
β				-0.14					-0.23									-0.20				-0.14	-0.32			-0.14	0.29	0.11	1.82					
variance				0.01					0.00									0.00				0.01	0.01			0.01	0.00	0.01	0.00					
relative importance				0.94					1.00									1.00				0.87	1.00			0.80	1.00	0.82	1.00					
95% CI				0.14					0.12									0.13				0.17	0.17			0.19	0.14	0.15	0.11					

Table S15. Confidence set[a] of models resulting from the information-theoretic approach and multi-model inference for abundance of dense herbaceous vegetation birds in the summer, model (d) (shading indicates inclusion of the variable in each model).

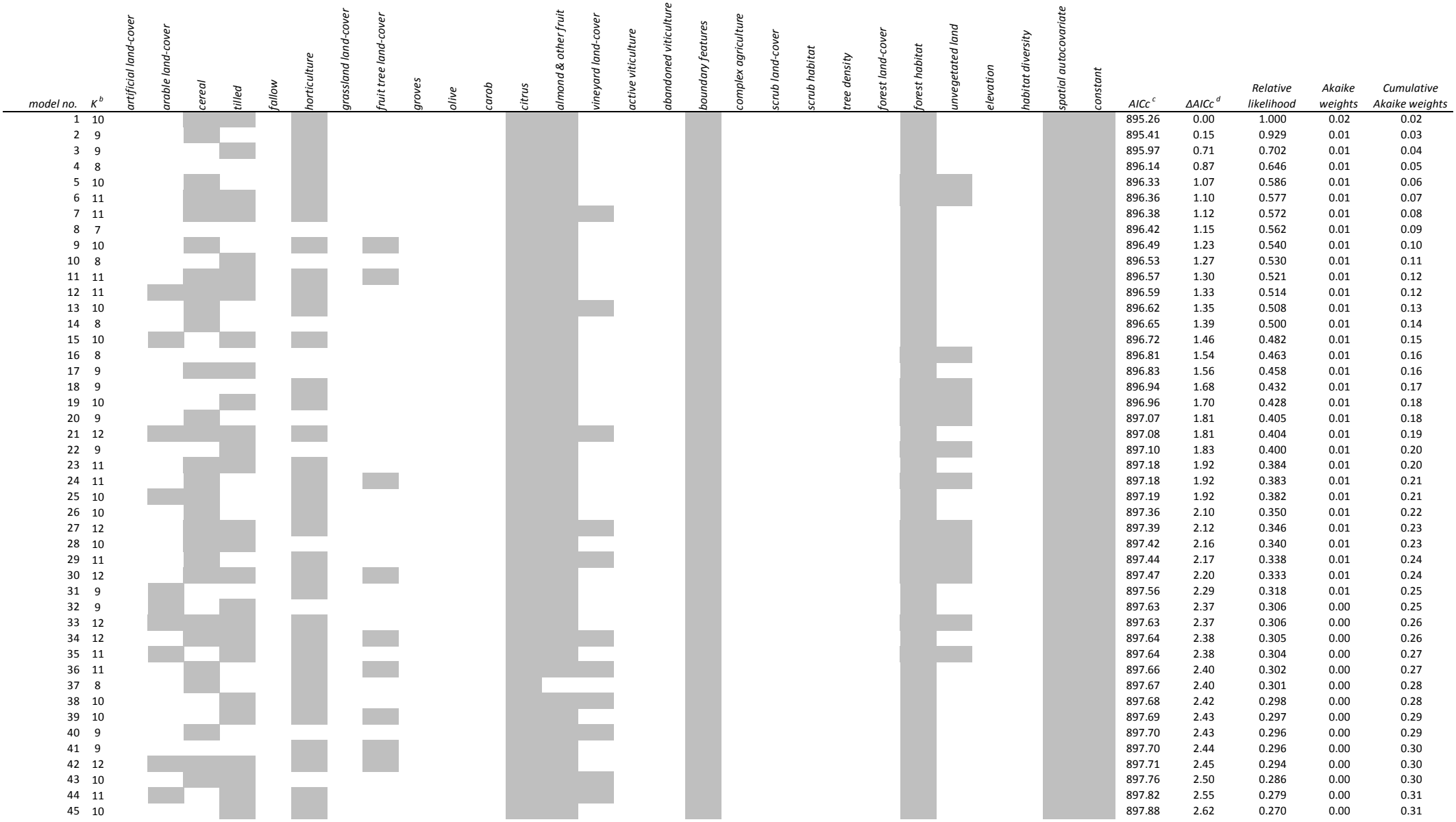

model no.	K[b]	AICc[c]	ΔAICc[d]	Relative likelihood	Akaike weights	Cumulative Akaike weights
1	10	895.26	0.00	1.000	0.02	0.02
2	9	895.41	0.15	0.929	0.01	0.03
3	9	895.97	0.71	0.702	0.01	0.04
4	8	896.14	0.87	0.646	0.01	0.05
5	10	896.33	1.07	0.586	0.01	0.06
6	11	896.36	1.10	0.577	0.01	0.07
7	11	896.38	1.12	0.572	0.01	0.08
8	7	896.42	1.15	0.562	0.01	0.09
9	10	896.49	1.23	0.540	0.01	0.10
10	8	896.53	1.27	0.530	0.01	0.11
11	11	896.57	1.30	0.521	0.01	0.12
12	11	896.59	1.33	0.514	0.01	0.12
13	10	896.62	1.35	0.508	0.01	0.13
14	8	896.65	1.39	0.500	0.01	0.14
15	10	896.72	1.46	0.482	0.01	0.15
16	8	896.81	1.54	0.463	0.01	0.16
17	9	896.83	1.56	0.458	0.01	0.16
18	9	896.94	1.68	0.432	0.01	0.17
19	10	896.96	1.70	0.428	0.01	0.18
20	9	897.07	1.81	0.405	0.01	0.18
21	12	897.08	1.81	0.404	0.01	0.19
22	9	897.10	1.83	0.400	0.01	0.20
23	11	897.18	1.92	0.384	0.01	0.20
24	11	897.18	1.92	0.383	0.01	0.21
25	10	897.19	1.92	0.382	0.01	0.21
26	10	897.36	2.10	0.350	0.01	0.22
27	12	897.39	2.12	0.346	0.01	0.23
28	10	897.42	2.16	0.340	0.01	0.23
29	11	897.44	2.17	0.338	0.01	0.24
30	12	897.47	2.20	0.333	0.01	0.24
31	9	897.56	2.29	0.318	0.01	0.25
32	9	897.63	2.37	0.306	0.00	0.25
33	12	897.63	2.37	0.306	0.00	0.26
34	12	897.64	2.38	0.305	0.00	0.26
35	11	897.64	2.38	0.304	0.00	0.27
36	11	897.66	2.40	0.302	0.00	0.27
37	8	897.67	2.40	0.301	0.00	0.28
38	10	897.68	2.42	0.298	0.00	0.28
39	10	897.69	2.43	0.297	0.00	0.29
40	9	897.70	2.43	0.296	0.00	0.29
41	9	897.70	2.44	0.296	0.00	0.30
42	12	897.71	2.45	0.294	0.00	0.30
43	10	897.76	2.50	0.286	0.00	0.30
44	11	897.82	2.55	0.279	0.00	0.31
45	10	897.88	2.62	0.270	0.00	0.31

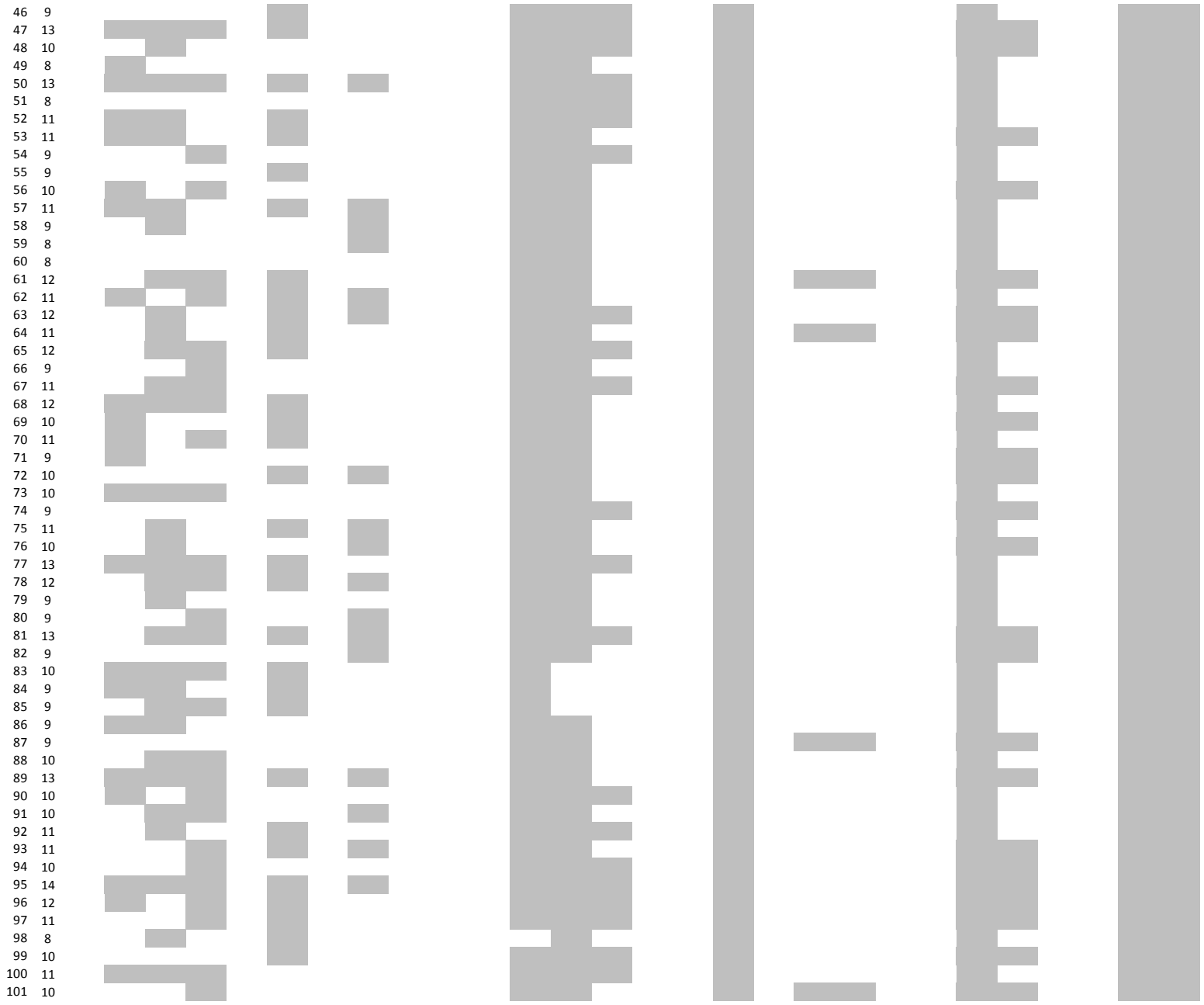

46	9	897.90	2.64	0.268	0.00	0.32
47	13	897.95	2.68	0.261	0.00	0.32
48	10	898.01	2.74	0.254	0.00	0.33
49	8	898.01	2.75	0.253	0.00	0.33
50	13	898.02	2.76	0.251	0.00	0.33
51	8	898.03	2.77	0.250	0.00	0.34
52	11	898.04	2.77	0.250	0.00	0.34
53	11	898.05	2.79	0.248	0.00	0.35
54	9	898.08	2.81	0.245	0.00	0.35
55	9	898.08	2.82	0.244	0.00	0.35
56	10	898.10	2.83	0.242	0.00	0.36
57	11	898.12	2.86	0.240	0.00	0.36
58	9	898.19	2.93	0.231	0.00	0.37
59	8	898.21	2.94	0.230	0.00	0.37
60	8	898.21	2.95	0.229	0.00	0.37
61	12	898.22	2.95	0.228	0.00	0.38
62	11	898.22	2.96	0.228	0.00	0.38
63	12	898.23	2.97	0.227	0.00	0.38
64	11	898.23	2.97	0.227	0.00	0.39
65	12	898.24	2.97	0.226	0.00	0.39
66	9	898.25	2.98	0.225	0.00	0.40
67	11	898.25	2.99	0.224	0.00	0.40
68	12	898.28	3.02	0.221	0.00	0.40
69	10	898.28	3.02	0.221	0.00	0.41
70	11	898.29	3.03	0.220	0.00	0.41
71	9	898.31	3.05	0.218	0.00	0.41
72	10	898.32	3.06	0.217	0.00	0.42
73	10	898.35	3.08	0.214	0.00	0.42
74	9	898.36	3.10	0.212	0.00	0.42
75	11	898.37	3.11	0.211	0.00	0.43
76	10	898.38	3.12	0.210	0.00	0.43
77	13	898.40	3.13	0.209	0.00	0.43
78	12	898.40	3.14	0.209	0.00	0.44
79	9	898.42	3.15	0.207	0.00	0.44
80	9	898.42	3.16	0.206	0.00	0.44
81	13	898.43	3.16	0.206	0.00	0.45
82	9	898.43	3.16	0.206	0.00	0.45
83	10	898.45	3.19	0.203	0.00	0.45
84	9	898.48	3.21	0.201	0.00	0.46
85	9	898.49	3.22	0.200	0.00	0.46
86	9	898.50	3.23	0.199	0.00	0.46
87	9	898.50	3.24	0.198	0.00	0.47
88	10	898.51	3.24	0.198	0.00	0.47
89	13	898.51	3.24	0.198	0.00	0.47
90	10	898.52	3.26	0.196	0.00	0.48
91	10	898.52	3.26	0.196	0.00	0.48
92	11	898.53	3.26	0.195	0.00	0.48
93	11	898.53	3.27	0.195	0.00	0.49
94	10	898.58	3.32	0.190	0.00	0.49
95	14	898.59	3.33	0.189	0.00	0.49
96	12	898.60	3.34	0.189	0.00	0.49
97	11	898.62	3.36	0.187	0.00	0.50
98	8	898.62	3.36	0.187	0.00	0.50
99	10	898.64	3.38	0.184	0.00	0.50
100	11	898.67	3.40	0.183	0.00	0.51
101	10	898.70	3.44	0.179	0.00	0.51

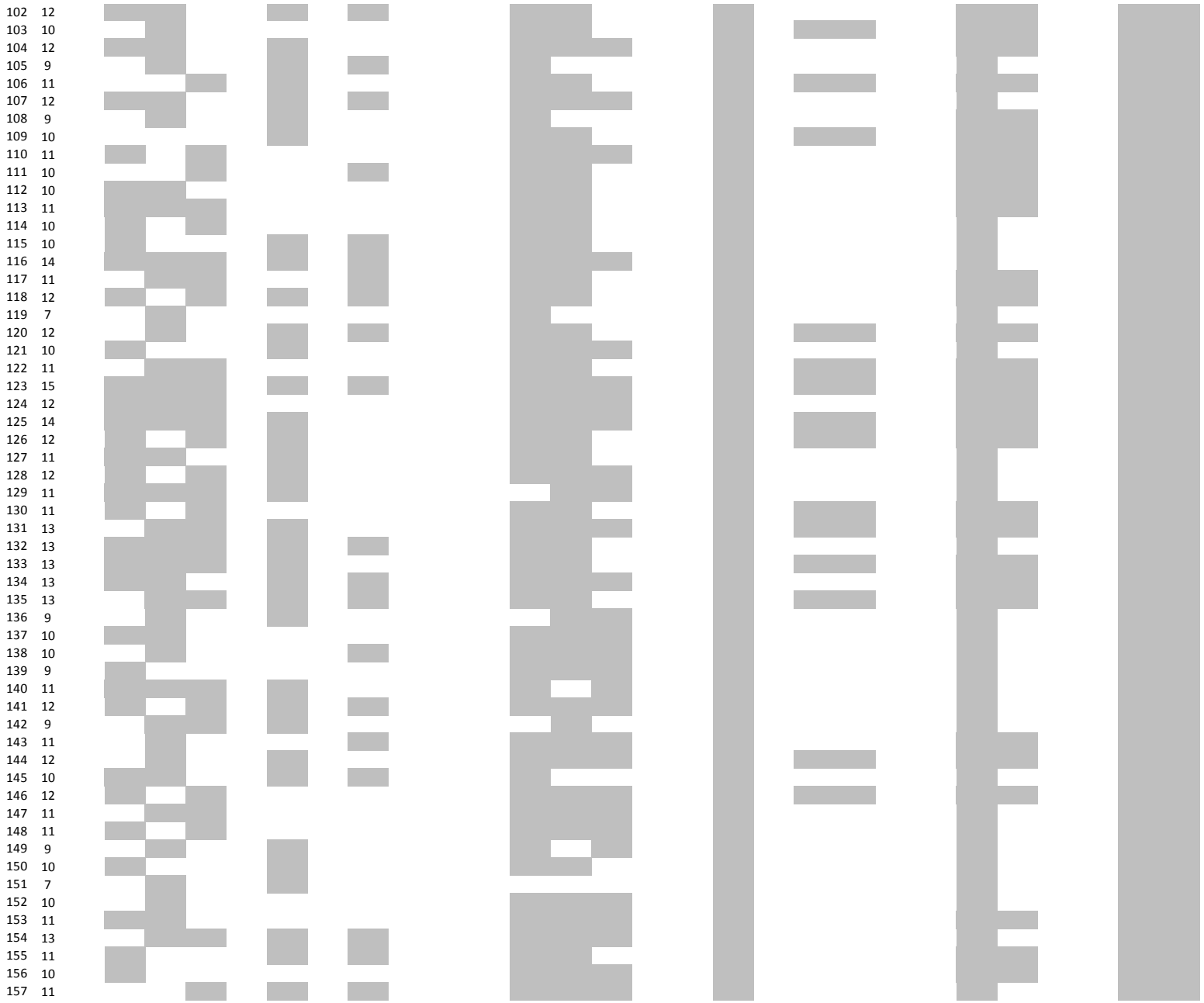

102	12	898.71	3.45	0.178	0.00	0.51
103	10	898.73	3.46	0.177	0.00	0.52
104	12	898.73	3.47	0.176	0.00	0.52
105	9	898.77	3.51	0.173	0.00	0.52
106	11	898.80	3.54	0.170	0.00	0.52
107	12	898.81	3.54	0.170	0.00	0.53
108	9	898.83	3.56	0.168	0.00	0.53
109	10	898.83	3.56	0.168	0.00	0.53
110	11	898.84	3.57	0.167	0.00	0.53
111	10	898.86	3.60	0.166	0.00	0.54
112	10	898.86	3.60	0.166	0.00	0.54
113	11	898.86	3.60	0.165	0.00	0.54
114	10	898.90	3.64	0.162	0.00	0.54
115	10	898.92	3.65	0.161	0.00	0.55
116	14	898.92	3.65	0.161	0.00	0.55
117	11	898.92	3.66	0.161	0.00	0.55
118	12	898.93	3.67	0.160	0.00	0.56
119	7	898.93	3.67	0.159	0.00	0.56
120	12	898.95	3.69	0.158	0.00	0.56
121	10	898.96	3.70	0.157	0.00	0.56
122	11	898.98	3.72	0.156	0.00	0.57
123	15	898.99	3.73	0.155	0.00	0.57
124	12	899.00	3.73	0.155	0.00	0.57
125	14	899.00	3.73	0.155	0.00	0.57
126	12	899.04	3.77	0.152	0.00	0.58
127	11	899.05	3.79	0.150	0.00	0.58
128	12	899.06	3.79	0.150	0.00	0.58
129	11	899.11	3.85	0.146	0.00	0.58
130	11	899.14	3.87	0.144	0.00	0.58
131	13	899.15	3.89	0.143	0.00	0.59
132	13	899.16	3.89	0.143	0.00	0.59
133	13	899.17	3.91	0.142	0.00	0.59
134	13	899.18	3.91	0.141	0.00	0.59
135	13	899.18	3.92	0.141	0.00	0.60
136	9	899.19	3.93	0.140	0.00	0.60
137	10	899.20	3.94	0.140	0.00	0.60
138	10	899.20	3.94	0.140	0.00	0.60
139	9	899.24	3.98	0.137	0.00	0.61
140	11	899.25	3.99	0.136	0.00	0.61
141	12	899.26	4.00	0.136	0.00	0.61
142	9	899.26	4.00	0.136	0.00	0.61
143	11	899.26	4.00	0.135	0.00	0.61
144	12	899.26	4.00	0.135	0.00	0.62
145	10	899.27	4.01	0.135	0.00	0.62
146	12	899.30	4.03	0.133	0.00	0.62
147	11	899.32	4.06	0.131	0.00	0.62
148	11	899.33	4.07	0.131	0.00	0.62
149	9	899.34	4.08	0.130	0.00	0.63
150	10	899.35	4.08	0.130	0.00	0.63
151	7	899.36	4.10	0.129	0.00	0.63
152	10	899.37	4.11	0.128	0.00	0.63
153	11	899.37	4.11	0.128	0.00	0.64
154	13	899.39	4.12	0.127	0.00	0.64
155	11	899.39	4.13	0.127	0.00	0.64
156	10	899.40	4.14	0.126	0.00	0.64
157	11	899.41	4.15	0.126	0.00	0.64

158	10																		899.42	4.15	0.125	0.00	0.65
159	11																		899.42	4.16	0.125	0.00	0.65
160	11																		899.42	4.16	0.125	0.00	0.65
model average[e]																							
β		-0.04	-0.09	-0.07	0.09	-0.02	0.19	0.21	-0.03	0.37	-0.01	-0.29	-0.05	0.27	0.96								
variance		0.01	0.01	0.01	0.01	0.00	0.01	0.01	0.00	0.02	0.00	0.01	0.01	0.01	0.01								
relative importance		0.34	0.62	0.54	0.67	0.26	0.98	0.95	0.32	1.00	0.20	1.00	0.38	1.00	1.00								
95% CI		0.13	0.20	0.18	0.18	0.08	0.17	0.20	0.11	0.27	0.06	0.21	0.17	0.17	0.17								

Table S16. Confidence set[a] of models resulting from the information-theoretic approach and multi-model inference for abundance of dense herbaceous vegetation birds in the summer, model (b) (shading indicates inclusion of the variable in each model).

model no.	*K*[b]	*artificial land-cover*	*arable land-cover*	*cereal*	*tilled*	*fallow*	*horticulture*	*grassland land-cover*	*fruit tree land-cover*	*groves*	*olive*	*carob*	*citrus*	*almond & other fruit*	*vineyard land-cover*	*active viticulture*	*abandoned viticulture*	*boundary features*	*complex agriculture*	*scrub land-cover*	*scrub habitat*	*tree density*	*forest land-cover*	*forest habitat*	*unvegetated land*	*elevation*	*habitat diversity*	*spatial autocovariate*	*constant*	*AICc*[c]	*ΔAICc*[d]	*Relative likelihood*	*Akaike weights*	*Cumulative Akaike weights*
1	10			■	■	■	■						■	■				■										■	■	897.59	0.00	1.000	0.16	0.16
2	9			■		■	■						■	■				■										■	■	898.71	1.12	0.571	0.09	0.24
3	9				■	■	■						■	■				■										■	■	898.89	1.31	0.520	0.08	0.33
4	8					■	■						■	■				■										■	■	899.83	2.24	0.326	0.05	0.38
5	9			■	■	■							■	■				■										■	■	900.12	2.53	0.282	0.04	0.42
6	9			■	■	■	■						■					■										■	■	900.12	2.53	0.282	0.04	0.46
7	8				■	■							■	■				■										■	■	900.26	2.67	0.263	0.04	0.51
8	8			■			■						■					■										■	■	900.26	2.67	0.263	0.04	0.55
9	8			■			■						■	■				■										■	■	900.26	2.68	0.262	0.04	0.59
10	7				■		■						■	■				■										■	■	900.69	3.10	0.212	0.03	0.62
11	9			■	■		■						■	■				■										■	■	900.83	3.24	0.198	0.03	0.65
12	8			■		■							■	■				■										■	■	900.86	3.27	0.195	0.03	0.68
13	7					■							■	■				■										■	■	900.89	3.30	0.192	0.03	0.71
14	8				■		■						■	■				■										■	■	901.24	3.65	0.161	0.03	0.74
model average[e]																																		
β				-0.10	-0.09	0.17	0.13						0.20	0.19				0.40										0.29	0.97					
variance				0.01	0.01	0.01	0.01						0.01	0.01				0.02										0.01	0.01					
relative importance				0.65	0.57	0.82	0.80						1.00	0.88				1.00										1.00	1.00					
95% CI				0.20	0.20	0.22	0.19						0.16	0.21				0.27										0.17	0.17					

Table S17. Confidence set[a] of models resulting from the information-theoretic approach and multi-model inference for abundance of dense herbaceous vegetation birds in the winter (shading indicates inclusion of the variable in each model).

model no.	K[b]	artificial land-cover	arable land-cover	cereal	tilled	fallow	horticulture	grassland land-cover	fruit tree land-cover	groves	olive	carob	citrus	almond & other fruit	vineyard land-cover	active viticulture	abandoned viticulture	boundary features	complex agriculture	scrub land-cover	scrub habitat	tree density	forest land-cover	forest habitat	unvegetated land	elevation	habitat diversity	spatial autocovariate	constant	AICc[c]	ΔAICc[d]	Relative likelihood	Akaike weights	Cumulative Akaike weights
1	11						■						■	■				■			■			■	■		■	■	■	554.46	0.00	1.000	0.08	0.08
2	10						■						■	■				■			■			■			■	■	■	554.66	0.20	0.906	0.07	0.15
3	10												■	■				■			■			■	■		■	■	■	555.40	0.94	0.625	0.05	0.20
4	9						■						■	■				■						■			■	■	■	555.49	1.03	0.598	0.05	0.24
5	10						■						■	■				■			■			■	■		■		■	555.70	1.24	0.538	0.04	0.28
6	9												■	■				■			■			■	■		■		■	555.73	1.27	0.530	0.04	0.32
7	10						■						■	■				■			■			■	■		■	■	■	555.80	1.33	0.513	0.04	0.36
8	10						■						■	■				■			■				■		■	■	■	556.21	1.74	0.418	0.03	0.40
9	9												■	■				■			■			■			■	■	■	556.24	1.77	0.412	0.03	0.43
10	9						■						■	■				■			■						■	■	■	556.24	1.78	0.411	0.03	0.46
11	10						■						■	■							■			■	■		■	■	■	556.31	1.85	0.397	0.03	0.49
12	10						■						■					■			■			■	■		■	■	■	556.53	2.07	0.355	0.03	0.52
13	9						■						■	■							■			■			■	■	■	556.72	2.26	0.323	0.02	0.54
14	9						■						■					■			■			■			■	■	■	556.82	2.36	0.307	0.02	0.57
15	9												■	■				■			■				■		■	■	■	556.83	2.36	0.307	0.02	0.59
16	9												■	■							■			■	■		■	■	■	556.98	2.52	0.283	0.02	0.61
17	9						■						■	■				■			■			■	■		■		■	557.17	2.71	0.258	0.02	0.63
18	9						■						■	■				■			■			■			■		■	557.18	2.71	0.258	0.02	0.65
19	8												■	■				■			■						■	■	■	557.47	3.01	0.222	0.02	0.67
20	8												■	■				■			■			■			■		■	557.71	3.25	0.197	0.02	0.68
21	9												■					■			■			■	■		■	■	■	557.88	3.41	0.181	0.01	0.70
22	8												■	■				■			■			■	■		■		■	557.88	3.41	0.181	0.01	0.71
23	8						■						■	■				■			■			■			■		■	557.93	3.47	0.177	0.01	0.73
24	8												■	■							■			■			■	■	■	557.98	3.52	0.172	0.01	0.74
25	9						■						■					■			■			■	■		■		■	558.17	3.70	0.157	0.01	0.75
26	9						■						■	■							■			■	■		■		■	558.17	3.71	0.156	0.01	0.76
27	8												■	■				■			■				■		■		■	558.20	3.74	0.154	0.01	0.78
28	9						■						■								■				■		■	■	■	558.39	3.93	0.140	0.01	0.79
29	8						■						■								■						■	■	■	558.51	4.05	0.132	0.01	0.80
30	8												■	■				■			■				■		■		■	558.54	4.07	0.130	0.01	0.81
31	9						■						■	■				■			■				■		■	■	■	558.61	4.15	0.126	0.01	0.82
model average[e]																																	
β							0.09						0.26	0.18				0.37			-0.21			-0.22	-0.13		0.55	0.12	-0.20					
variance							0.01						0.01	0.01				0.06			0.02			0.02	0.02		0.03	0.01	0.01					
relative importance							0.68						1.00	0.87				0.86			0.85			0.82	0.61		1.00	0.73	1.00					
95% CI							0.18						0.14	0.21				0.47			0.27			0.30	0.29		0.35	0.19	0.22					

Table S18. Confidence set[a] of models resulting from the information-theoretic approach and multi-model inference for species richness of dense herbaceous vegetation birds in the summer (shading indicates inclusion of the variable in each model).

model no.	*K*[b]	*artificial land-cover*	*arable land-cover*	*cereal*	*tilled*	*fallow*	*horticulture*	*grassland land-cover*	*fruit tree land-cover*	*groves*	*olive*	*carob*	*citrus*	*almond & other fruit*	*vineyard land-cover*	*active viticulture*	*abandoned viticulture*	*boundary features*	*complex agriculture*	*scrub land-cover*	*scrub habitat*	*tree density*	*forest land-cover*	*forest habitat*	*unvegetated land*	*elevation*	*habitat diversity*	*spatial autocovariate*	*constant*	*AICc*[c]	*ΔAICc*[d]	*Relative likelihood*	*Akaike weights*	*Cumulative Akaike weights*
1	8			■									■					■						■	■			■	■	585.71	0.00	1.000	0.36	0.36
2	7			■									■					■						■				■	■	586.33	0.62	0.732	0.26	0.62
3	7			■									■											■	■			■	■	586.38	0.67	0.716	0.26	0.87
4	6			■									■											■				■	■	587.95	2.24	0.326	0.12	0.99
model average[e]																																		
β				-0.32									0.25					0.08						-0.36	-0.08			0.37	1.47					
variance				0.01									0.01					0.01						0.01	0.01			0.01	0.01					
relative importance				1.00									1.00					0.62						1.00	0.62			1.00	1.00					
95% CI				0.14									0.15					0.18						0.15	0.17			0.16	0.14					

Table S19. Confidence set[a] of models resulting from the information-theoretic approach and multi-model inference for species richness of dense herbaceous vegetation birds in the winter, model (d) (shading indicates inclusion of the variable in each model).

model no.	*K* [b]	*artificial land-cover*	*arable land-cover*	*cereal*	*tilled*	*fallow*	*horticulture*	*grassland land-cover*	*fruit tree land-cover*	*groves*	*olive*	*carob*	*citrus*	*almond & other fruit*	*vineyard land-cover*	*active viticulture*	*abandoned viticulture*	*boundary features*	*complex agriculture*	*scrub land-cover*	*scrub habitat*	*tree density*	*forest land-cover*	*forest habitat*	*unvegetated land*	*elevation*	*habitat diversity*	*spatial autocovariate*	*constant*	*AICc* [c]	*ΔAICc* [d]	*Relative likelihood*	*Akaike weights*	*Cumulative Akaike weights*
1	12		■									■		■			■				■			■			■	■	■	399.03	0.00	1.000	0.06	0.06
2	11		■									■		■			■				■			■				■	■	399.15	0.11	0.944	0.06	0.12
3	13		■	■								■		■			■				■			■			■	■	■	399.74	0.70	0.703	0.04	0.16
4	10		■									■		■			■				■			■				■	■	399.79	0.76	0.685	0.04	0.20
5	11		■									■		■			■				■			■		■		■	■	399.82	0.79	0.675	0.04	0.25
6	12		■	■								■		■			■				■			■	■		■	■	■	400.04	1.01	0.603	0.04	0.28
7	12		■	■								■		■			■				■			■		■	■	■	■	400.69	1.66	0.437	0.03	0.31
8	11		■	■								■		■			■				■			■			■	■	■	400.83	1.80	0.407	0.02	0.33
9	13		■									■		■			■	■			■			■	■	■	■	■	■	400.92	1.88	0.390	0.02	0.36
10	12		■									■		■			■	■			■			■	■		■	■	■	401.11	2.08	0.354	0.02	0.38
11	12		■									■		■			■	■			■			■		■	■	■	■	401.52	2.49	0.288	0.02	0.40
12	14		■	■								■		■			■	■			■			■	■	■	■	■	■	401.54	2.51	0.285	0.02	0.42
13	11		■									■		■			■	■			■			■			■	■	■	401.63	2.60	0.273	0.02	0.43
14	11		■									■		■			■				■			■	■	■	■	■	■	401.88	2.85	0.240	0.01	0.45
15	10		■									■		■			■				■					■	■	■	■	401.95	2.92	0.232	0.01	0.46
16	13		■	■								■		■			■	■			■			■			■	■	■	401.97	2.93	0.231	0.01	0.48
17	11		■									■		■			■				■			■	■	■	■	■	■	402.01	2.98	0.225	0.01	0.49
18	11			■								■		■			■				■			■	■	■		■	■	402.07	3.04	0.219	0.01	0.50
19	10		■									■		■			■				■			■	■		■	■	■	402.15	3.12	0.210	0.01	0.52
20	10			■								■		■			■				■			■	■			■	■	402.16	3.13	0.209	0.01	0.53
21	13		■	■								■		■			■	■			■			■	■		■	■	■	402.27	3.24	0.198	0.01	0.54
22	9		■									■		■			■				■			■	■		■	■	■	402.35	3.32	0.190	0.01	0.55
23	12			■								■		■			■				■			■	■	■	■	■	■	402.45	3.42	0.181	0.01	0.56
24	10		■									■		■			■				■			■		■	■	■	■	402.58	3.55	0.170	0.01	0.57
25	12		■	■								■		■			■	■			■			■	■		■	■	■	402.59	3.56	0.168	0.01	0.58
26	11			■								■		■			■				■			■	■	■	■	■	■	402.61	3.58	0.167	0.01	0.59
27	11		■									■		■			■							■	■	■	■	■	■	403.17	4.14	0.126	0.01	0.60
model average [e]																																		
β			-0.12	-0.03								-0.17		0.17			-0.13	0.01			-0.15			-0.14	-0.04	-0.06	0.23	0.14	0.71					
variance			0.00	0.00								0.00		0.00			0.00	0.00			0.00			0.01	0.00	0.01	0.00	0.00	0.00					
relative importance			0.92	0.39								1.00		1.00			0.92	0.22			0.99			0.92	0.58	0.58	1.00	1.00	1.00					
95% CI			0.13	0.09								0.10		0.12			0.13	0.04			0.12			0.14	0.10	0.14	0.13	0.10	0.09					

Table S20. Confidence set[a] of models resulting from the information-theoretic approach and multi-model inference for species richness of dense herbaceous vegetation birds in the winter, model (b) (shading indicates inclusion of the variable in each model).

model no.	*K*[b]	*artificial land-cover*	*arable land-cover*	*cereal*	*tilled*	*fallow*	*horticulture*	*grassland land-cover*	*fruit tree land-cover*	*groves*	*olive*	*carob*	*citrus*	*almond & other fruit*	*vineyard land-cover*	*active viticulture*	*abandoned viticulture*	*boundary features*	*complex agriculture*	*scrub land-cover*	*scrub habitat*	*tree density*	*forest land-cover*	*forest habitat*	*unvegetated land*	*elevation*	*habitat diversity*	*spatial autocovariate*	*constant*	*AICc*[c]	*ΔAICc*[d]	*Relative likelihood*	*Akaike weights*	*Cumulative Akaike weights*
1	11			■								■		■	■		■				■					■	■	■	■	400.32	0.00	1.000	0.18	0.18
2	10											■		■	■		■				■					■	■	■	■	400.87	0.55	0.760	0.14	0.32
3	12			■								■		■	■		■	■			■					■	■	■	■	402.03	1.71	0.426	0.08	0.40
4	11											■		■	■		■				■					■	■	■	■	402.83	2.51	0.284	0.05	0.45
5	9											■		■	■		■									■	■	■	■	403.30	2.99	0.225	0.04	0.49
6	10											■		■	■		■	■								■	■	■	■	403.91	3.59	0.166	0.03	0.52
7	10			■								■		■			■				■					■	■	■	■	404.21	3.89	0.143	0.03	0.55
8	9											■		■	■		■				■						■	■	■	404.29	3.97	0.137	0.02	0.57
9	9											■		■	■						■					■	■	■	■	404.39	4.07	0.131	0.02	0.60
model average[e]																																		
β				-0.04								-0.13		0.23	0.12		-0.14	0.01			-0.12					-0.14	0.20	0.17	0.71					
variance				0.00								0.00		0.00	0.00		0.00	0.00			0.01					0.00	0.00	0.00	0.00					
relative importance				0.48								1.00		1.00	0.96		0.96	0.27			0.88					0.96	1.00	1.00	1.00					
95% CI				0.11								0.10		0.12	0.12		0.13	0.05			0.14					0.12	0.13	0.10	0.09					

Table S21. Confidence set[a] of models resulting from the information-theoretic approach and multi-model inference for abundance of open steppic habitat birds in the summer (shading indicates inclusion of the variable in each model).

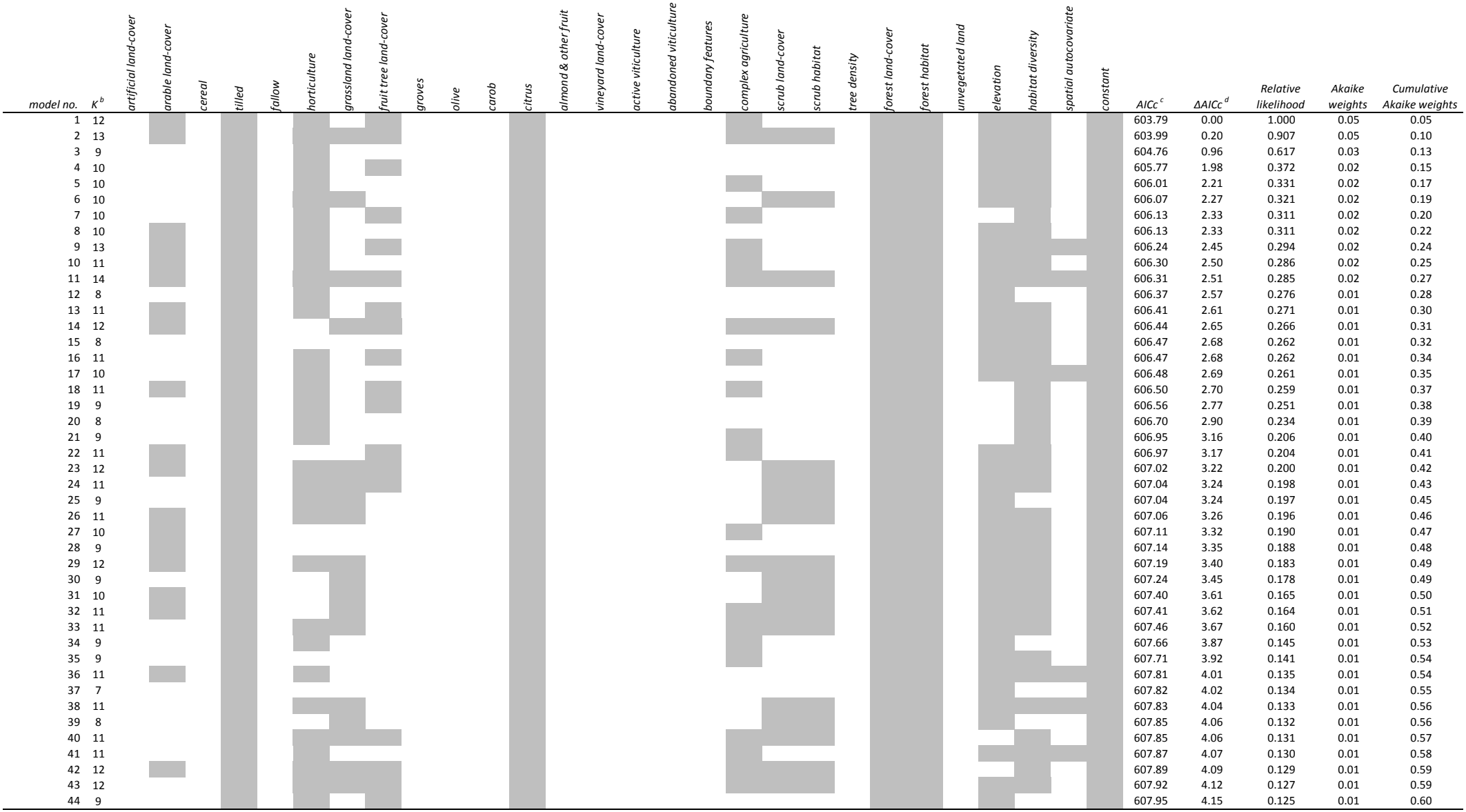

model no.	K[b]	AICc[c]	ΔAICc[d]	Relative likelihood	Akaike weights	Cumulative Akaike weights
1	12	603.79	0.00	1.000	0.05	0.05
2	13	603.99	0.20	0.907	0.05	0.10
3	9	604.76	0.96	0.617	0.03	0.13
4	10	605.77	1.98	0.372	0.02	0.15
5	10	606.01	2.21	0.331	0.02	0.17
6	10	606.07	2.27	0.321	0.02	0.19
7	10	606.13	2.33	0.311	0.02	0.20
8	10	606.13	2.33	0.311	0.02	0.22
9	13	606.24	2.45	0.294	0.02	0.24
10	11	606.30	2.50	0.286	0.02	0.25
11	14	606.31	2.51	0.285	0.02	0.27
12	8	606.37	2.57	0.276	0.01	0.28
13	11	606.41	2.61	0.271	0.01	0.30
14	12	606.44	2.65	0.266	0.01	0.31
15	8	606.47	2.68	0.262	0.01	0.32
16	11	606.47	2.68	0.262	0.01	0.34
17	10	606.48	2.69	0.261	0.01	0.35
18	11	606.50	2.70	0.259	0.01	0.37
19	9	606.56	2.77	0.251	0.01	0.38
20	8	606.70	2.90	0.234	0.01	0.39
21	9	606.95	3.16	0.206	0.01	0.40
22	11	606.97	3.17	0.204	0.01	0.41
23	12	607.02	3.22	0.200	0.01	0.42
24	11	607.04	3.24	0.198	0.01	0.43
25	9	607.04	3.24	0.197	0.01	0.45
26	11	607.06	3.26	0.196	0.01	0.46
27	10	607.11	3.32	0.190	0.01	0.47
28	9	607.14	3.35	0.188	0.01	0.48
29	12	607.19	3.40	0.183	0.01	0.49
30	9	607.24	3.45	0.178	0.01	0.49
31	10	607.40	3.61	0.165	0.01	0.50
32	11	607.41	3.62	0.164	0.01	0.51
33	11	607.46	3.67	0.160	0.01	0.52
34	9	607.66	3.87	0.145	0.01	0.53
35	9	607.71	3.92	0.141	0.01	0.54
36	11	607.81	4.01	0.135	0.01	0.54
37	7	607.82	4.02	0.134	0.01	0.55
38	11	607.83	4.04	0.133	0.01	0.56
39	8	607.85	4.06	0.132	0.01	0.56
40	11	607.85	4.06	0.131	0.01	0.57
41	11	607.87	4.07	0.130	0.01	0.58
42	12	607.89	4.09	0.129	0.01	0.59
43	12	607.92	4.12	0.127	0.01	0.59
44	9	607.95	4.15	0.125	0.01	0.60

model average [e]														
β	-0.26	-0.94	0.29	-0.07	-0.25	-0.91	-0.23	-0.79	-1.04	-0.53	-0.46	0.00	-0.11	
variance	0.13	0.04	0.05	0.02	0.12	0.07	0.09	0.07	0.09	0.12	0.06	0.00	0.04	
relative importance	0.50	1.00	0.82	0.36	0.50	1.00	0.54	1.00	1.00	0.86	0.91	0.11	1.00	
95% CI	0.66	0.40	0.41	0.23	0.63	0.50	0.55	0.52	0.57	0.65	0.44	0.04	0.39	

Table S22. Confidence set[a] of models resulting from the information-theoretic approach and multi-model inference for abundance of open steppic habitat birds in the winter (shading indicates inclusion of the variable in each model).

model no.	*K*[b]	*artificial land-cover*	*arable land-cover*	*cereal*	*tilled*	*fallow*	*horticulture*	*grassland land-cover*	*fruit tree land-cover*	*groves*	*olive*	*carob*	*citrus*	*almond & other fruit*	*vineyard land-cover*	*active viticulture*	*abandoned viticulture*	*boundary features*	*complex agriculture*	*scrub land-cover*	*scrub habitat*	*tree density*	*forest land-cover*	*forest habitat*	*unvegetated land*	*elevation*	*habitat diversity*	*spatial autocovariate*	*constant*	*AICc*[c]	*ΔAICc*[d]	*Relative likelihood*	*Akaike weights*	*Cumulative Akaike weights*
1	10				■	■		■					■			■								■		■	■		■	1282.27	0.00	1.000	0.14	0.14
2	11				■	■		■					■			■								■		■	■	■	■	1282.47	0.21	0.901	0.12	0.26
3	12		■		■	■		■					■			■								■		■	■	■	■	1283.48	1.21	0.545	0.07	0.34
4	9				■			■					■			■								■		■			■	1283.53	1.27	0.531	0.07	0.41
5	11		■		■	■		■					■			■								■		■	■		■	1283.85	1.59	0.453	0.06	0.47
6	9				■	■		■					■			■								■		■			■	1284.03	1.77	0.413	0.06	0.53
7	10				■	■		■					■			■								■		■		■	■	1284.04	1.78	0.412	0.06	0.58
8	10		■		■			■					■			■								■		■		■	■	1284.26	1.99	0.369	0.05	0.63
9	8				■			■					■			■								■		■			■	1284.45	2.19	0.335	0.05	0.68
10	10				■			■					■			■								■		■	■	■	■	1284.80	2.54	0.281	0.04	0.72
11	11		■		■	■		■					■			■								■		■	■	■	■	1284.81	2.54	0.280	0.04	0.76
12	10		■		■	■		■					■			■								■		■	■		■	1285.51	3.25	0.197	0.03	0.78
13	11		■		■			■					■			■										■	■	■	■	1285.61	3.35	0.188	0.03	0.81
14	11		■		■	■		■					■			■								■		■	■	■	■	1285.94	3.67	0.159	0.02	0.83
15	9		■		■			■					■			■								■		■	■	■	■	1285.99	3.72	0.156	0.02	0.85
16	9				■			■					■			■								■		■	■		■	1286.03	3.76	0.152	0.02	0.87
model average[e]																																		
β			0.04		0.46	0.18		0.36					-0.46			0.40								-0.46		-0.85	-0.15	-0.11	2.02					
variance			0.01		0.01	0.03		0.01					0.01			0.02								0.03		0.03	0.03	0.02	0.01					
relative importance			0.37		1.00	0.68		1.00					1.00			1.00								0.97		1.00	0.58	0.58	1.00					
95% CI			0.16		0.22	0.33		0.19					0.22			0.28								0.33		0.36	0.33	0.25	0.21					

Table S23. Confidence set[a] of models resulting from the information-theoretic approach and multi-model inference for species richness of open steppic habitat birds in the summer (shading indicates inclusion of the variable in each model).

model no.	*K*[b]	*artificial land-cover*	*arable land-cover*	*cereal*	*tilled*	*fallow*	*horticulture*	*grassland land-cover*	*fruit tree land-cover*	*groves*	*olive*	*carob*	*citrus*	*almond & other fruit*	*vineyard land-cover*	*active viticulture*	*abandoned viticulture*	*boundary features*	*complex agriculture*	*scrub land-cover*	*scrub habitat*	*tree density*	*forest land-cover*	*forest habitat*	*unvegetated land*	*elevation*	*habitat diversity*	*spatial autocovariate*	*constant*	*AICc*[c]	*ΔAICc*[d]	*Relative likelihood*	*Akaike weights*	*Cumulative Akaike weights*
1	12																													463.30	0.00	1.000	0.08	0.08
2	11																													463.60	0.30	0.860	0.07	0.16
3	10																													463.78	0.48	0.787	0.07	0.22
4	11																													463.88	0.58	0.749	0.06	0.28
5	10																													464.69	1.39	0.499	0.04	0.33
6	9																													465.09	1.80	0.408	0.03	0.36
7	11																													465.11	1.81	0.404	0.03	0.39
8	13																													465.21	1.91	0.384	0.03	0.43
9	10																													465.34	2.04	0.361	0.03	0.46
10	12																													465.34	2.05	0.359	0.03	0.49
11	9																													465.37	2.07	0.355	0.03	0.52
12	11																													465.43	2.14	0.344	0.03	0.55
13	12																													465.44	2.14	0.342	0.03	0.57
14	10																													465.93	2.63	0.268	0.02	0.60
15	11																													466.10	2.80	0.247	0.02	0.62
16	11																													466.14	2.84	0.241	0.02	0.64
17	10																													466.16	2.86	0.239	0.02	0.66
18	11																													466.26	2.97	0.227	0.02	0.68
19	10																													466.44	3.14	0.208	0.02	0.69
20	10																													466.46	3.16	0.206	0.02	0.71
21	11																													466.46	3.16	0.206	0.02	0.73
22	10																													467.22	3.92	0.141	0.01	0.74
23	11																													467.33	4.03	0.133	0.01	0.75
24	12																													467.33	4.03	0.133	0.01	0.76
25	12																													467.40	4.10	0.129	0.01	0.77
model average[e]																																		
β			0.01	-0.21	-0.19				-0.04				-0.16	-0.18						-0.10	-0.26	-0.16				-0.06		0.09	0.51						
variance			0.00	0.00	0.00				0.00				0.00	0.00						0.01	0.01	0.00				0.01		0.00	0.00						
relative importance			0.30	1.00	1.00				0.49				0.98	1.00						0.79	1.00	0.97				0.51		0.78	1.00						
95% CI			0.07	0.12	0.12				0.11				0.13	0.12						0.15	0.14	0.13				0.15		0.13	0.10						

Table S24. Confidence set[a] of models resulting from the information-theoretic approach and multi-model inference for species richness of open steppic habitat birds in the winter, model (b) (shading indicates inclusion of the variable in each model).

model no.	K[b]	artificial land-cover	arable land-cover	cereal	tilled	fallow	horticulture	grassland land-cover	fruit tree land-cover	groves	olive	carob	citrus	almond & other fruit	vineyard land-cover	active viticulture	abandoned viticulture	boundary features	complex agriculture	scrub land-cover	scrub habitat	tree density	forest land-cover	forest habitat	unvegetated land	elevation	habitat diversity	spatial autocovariate	constant	AICc[c]	ΔAICc[d]	Relative likelihood	Akaike weights	Cumulative Akaike weights
1	11				■			■		■					■						■	■	■	■			■		■	623.73	0.00	1.000	0.10	0.10
2	12				■			■		■					■			■			■	■	■	■		■	■		■	623.95	0.22	0.895	0.09	0.19
3	9				■			■		■					■						■	■	■	■					■	624.00	0.27	0.874	0.09	0.28
4	11				■			■		■					■						■	■	■	■		■	■		■	624.11	0.38	0.826	0.08	0.37
5	10				■			■		■					■						■	■	■	■			■		■	624.41	0.68	0.713	0.07	0.44
6	10				■			■		■					■						■	■	■	■		■			■	624.74	1.01	0.602	0.06	0.50
7	10				■			■		■					■						■	■	■	■					■	625.17	1.45	0.485	0.05	0.55
8	12				■			■		■					■						■	■	■	■			■	■	■	625.72	1.99	0.369	0.04	0.59
9	13				■			■		■					■						■	■	■	■		■	■	■	■	625.86	2.13	0.345	0.04	0.63
10	12				■			■		■					■						■	■	■	■		■	■		■	625.87	2.14	0.343	0.04	0.66
11	10				■			■		■					■						■	■	■	■		■	■	■	■	626.00	2.27	0.321	0.03	0.70
12	11				■			■		■					■						■	■	■	■		■			■	626.28	2.55	0.279	0.03	0.72
13	11				■			■		■					■						■	■	■	■			■	■	■	626.40	2.67	0.263	0.03	0.75
14	11				■			■		■					■						■	■	■	■		■		■	■	626.67	2.94	0.229	0.02	0.78
15	11				■			■		■					■			■			■	■	■	■			■	■	■	627.16	3.43	0.180	0.02	0.79
16	9				■			■		■					■						■	■	■	■		■			■	627.20	3.47	0.176	0.02	0.81
model average[e]																																		
β					0.27			0.31		-0.67					-0.23			-0.06			-0.47	-0.30	-0.39			-0.07	0.15	0.00	1.85					
variance					0.01			0.01		0.02					0.01			0.01			0.01	0.01	0.02			0.01	0.03	0.00	0.01					
relative importance					1.00			1.00		1.00					0.98			0.45			1.00	1.00	1.00			0.47	0.60	0.26	1.00					
95% CI					0.18			0.16		0.28					0.19			0.19			0.24	0.21	0.26			0.20	0.34	0.05	0.15					

Table S25. Confidence set[a] of models resulting from the information-theoretic approach and multi-model inference for species richness of open steppic habitat birds in the winter, model (c) (shading indicates inclusion of the variable in each model).

model no.	*K*[b]	*artificial land-cover*	*arable land-cover*	*cereal*	*tilled*	*fallow*	*horticulture*	*grassland land-cover*	*fruit tree land-cover*	*groves*	*olive*	*carob*	*citrus*	*almond & other fruit*	*vineyard land-cover*	*active viticulture*	*abandoned viticulture*	*boundary features*	*complex agriculture*	*scrub land-cover*	*scrub habitat*	*tree density*	*forest land-cover*	*forest habitat*	*unvegetated land*	*elevation*	*habitat diversity*	*spatial autocovariate*	*constant*	*AICc*[c]	*ΔAICc*[d]	*Relative likelihood*	*Akaike weights*	*Cumulative Akaike weights*
1	11		■		■			■		■								■			■	■	■	■			■		■	613.11	0.00	1.000	0.11	0.11
2	10		■		■			■		■								■			■	■	■	■			■		■	613.27	0.16	0.924	0.10	0.21
3	12		■		■			■		■								■			■	■	■	■		■	■		■	613.57	0.46	0.793	0.09	0.30
4	11		■		■			■		■								■			■	■	■	■		■			■	614.69	1.58	0.453	0.05	0.35
5	12		■		■			■		■								■			■	■	■	■			■	■	■	615.05	1.94	0.379	0.04	0.39
6	9		■		■			■		■								■			■	■	■	■					■	615.19	2.09	0.352	0.04	0.43
7	13		■		■			■		■								■			■	■	■	■		■	■	■	■	615.21	2.11	0.349	0.04	0.47
8	11		■		■			■		■								■			■	■	■	■				■	■	615.22	2.11	0.348	0.04	0.51
9	10		■		■			■		■								■			■	■	■	■		■			■	615.35	2.24	0.326	0.04	0.54
10	11		■		■			■		■								■			■		■	■			■		■	616.11	3.00	0.223	0.02	0.57
11	11		■		■			■		■								■				■					■		■	616.30	3.19	0.203	0.02	0.59
12	12		■		■			■		■								■			■	■	■	■			■	■	■	616.52	3.41	0.182	0.02	0.61
13	11		■		■			■		■								■			■	■	■	■			■		■	616.57	3.46	0.177	0.02	0.63
14	9		■		■			■		■								■			■	■							■	616.63	3.52	0.172	0.02	0.65
15	10		■		■			■		■								■			■		■	■			■		■	616.74	3.63	0.163	0.02	0.67
16	10		■		■			■		■								■			■	■				■			■	616.85	3.74	0.154	0.02	0.68
17	11		■		■			■		■											■	■	■	■		■		■	■	616.86	3.76	0.153	0.02	0.70
18	10		■		■			■		■											■	■	■	■				■	■	617.03	3.92	0.141	0.02	0.72
19	10		■		■			■		■											■	■	■	■			■		■	617.12	4.01	0.134	0.01	0.73
20	9		■		■			■		■											■	■				■			■	617.14	4.04	0.133	0.01	0.75
model average[e]																																		
β			0.41		0.25			0.34		-0.40								-0.17			-0.37	-0.23	-0.25			-0.06	0.11	-0.01	1.85					
variance			0.01		0.01			0.01		0.02								0.02			0.01	0.01	0.02			0.01	0.02	0.00	0.01					
relative importance			1.00		1.00			1.00		1.00								0.79			1.00	0.94	0.90			0.47	0.51	0.23	1.00					
95% CI			0.20		0.18			0.15		0.26								0.25			0.22	0.23	0.27			0.18	0.28	0.05	0.15					

Table S26. Confidence set[a] of models resulting from the information-theoretic approach and multi-model inference for abundance of large-area birds in the summer (shading indicates inclusion of the variable in each model).

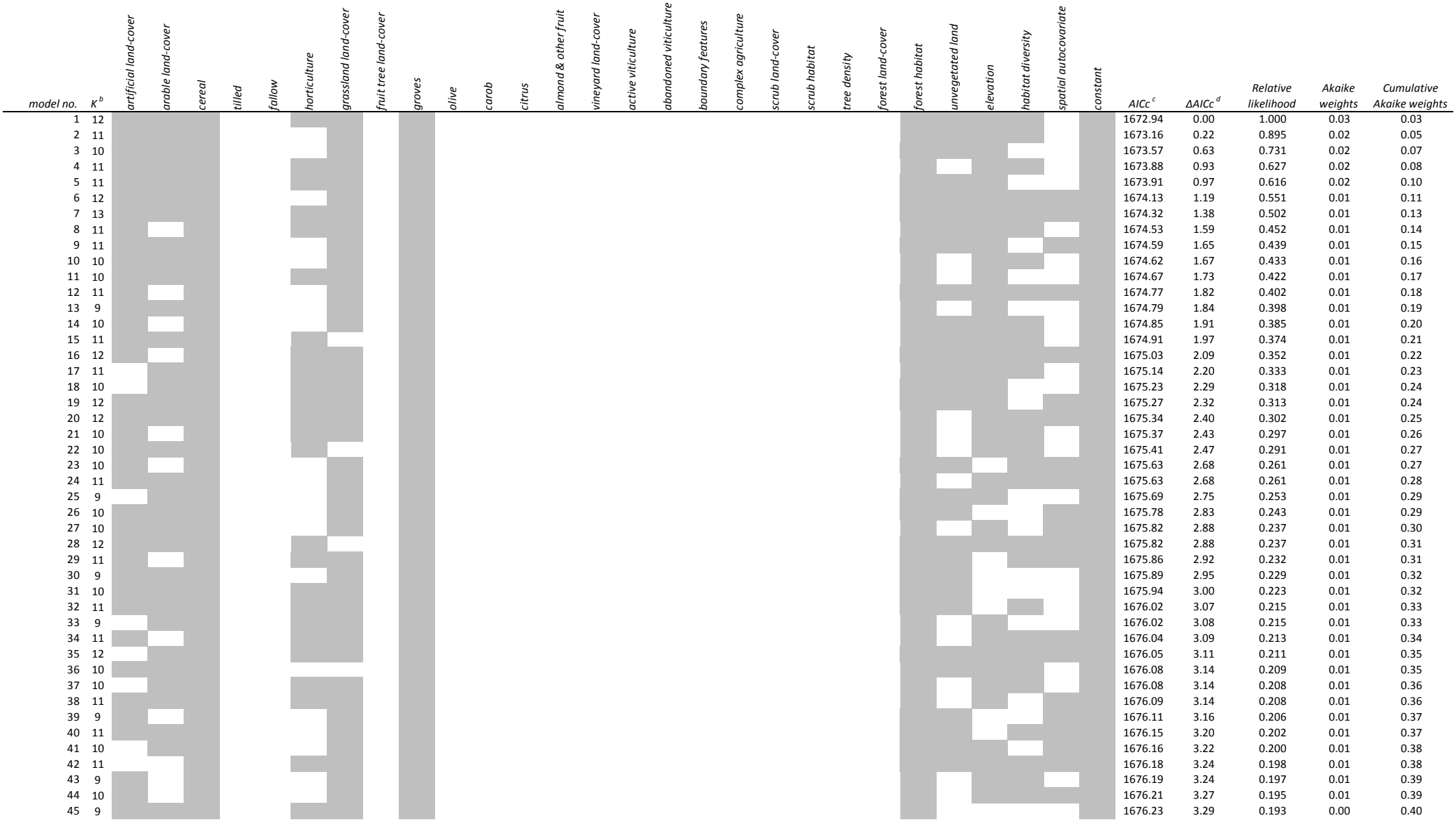

model no.	K[b]	AICc[c]	ΔAICc[d]	Relative likelihood	Akaike weights	Cumulative Akaike weights
1	12	1672.94	0.00	1.000	0.03	0.03
2	11	1673.16	0.22	0.895	0.02	0.05
3	10	1673.57	0.63	0.731	0.02	0.07
4	11	1673.88	0.93	0.627	0.02	0.08
5	11	1673.91	0.97	0.616	0.02	0.10
6	12	1674.13	1.19	0.551	0.01	0.11
7	13	1674.32	1.38	0.502	0.01	0.13
8	11	1674.53	1.59	0.452	0.01	0.14
9	11	1674.59	1.65	0.439	0.01	0.15
10	10	1674.62	1.67	0.433	0.01	0.16
11	10	1674.67	1.73	0.422	0.01	0.17
12	11	1674.77	1.82	0.402	0.01	0.18
13	9	1674.79	1.84	0.398	0.01	0.19
14	10	1674.85	1.91	0.385	0.01	0.20
15	11	1674.91	1.97	0.374	0.01	0.21
16	12	1675.03	2.09	0.352	0.01	0.22
17	11	1675.14	2.20	0.333	0.01	0.23
18	10	1675.23	2.29	0.318	0.01	0.24
19	12	1675.27	2.32	0.313	0.01	0.24
20	12	1675.34	2.40	0.302	0.01	0.25
21	10	1675.37	2.43	0.297	0.01	0.26
22	10	1675.41	2.47	0.291	0.01	0.27
23	10	1675.63	2.68	0.261	0.01	0.27
24	11	1675.63	2.68	0.261	0.01	0.28
25	9	1675.69	2.75	0.253	0.01	0.29
26	10	1675.78	2.83	0.243	0.01	0.29
27	10	1675.82	2.88	0.237	0.01	0.30
28	12	1675.82	2.88	0.237	0.01	0.31
29	11	1675.86	2.92	0.232	0.01	0.31
30	9	1675.89	2.95	0.229	0.01	0.32
31	10	1675.94	3.00	0.223	0.01	0.32
32	11	1676.02	3.07	0.215	0.01	0.33
33	9	1676.02	3.08	0.215	0.01	0.33
34	11	1676.04	3.09	0.213	0.01	0.34
35	12	1676.05	3.11	0.211	0.01	0.35
36	10	1676.08	3.14	0.209	0.01	0.35
37	10	1676.08	3.14	0.208	0.01	0.36
38	11	1676.09	3.14	0.208	0.01	0.36
39	9	1676.11	3.16	0.206	0.01	0.37
40	11	1676.15	3.20	0.202	0.01	0.37
41	10	1676.16	3.22	0.200	0.01	0.38
42	11	1676.18	3.24	0.198	0.01	0.38
43	9	1676.19	3.24	0.197	0.01	0.39
44	10	1676.21	3.27	0.195	0.01	0.39
45	9	1676.23	3.29	0.193	0.00	0.40

46	10	■		■	■	■	■	■	■		■		■	1676.27	3.32	0.190	0.00	0.40
47	11		■	■	■	■	■	■	■	■		■	■	1676.27	3.33	0.189	0.00	0.41
48	11	■	■	■			■	■	■	■	■	■	■	1676.28	3.34	0.189	0.00	0.41
49	10	■		■		■	■	■	■	■		■	■	1676.30	3.36	0.187	0.00	0.42
50	10			■	■	■	■	■	■	■	■		■	1676.34	3.39	0.183	0.00	0.42
51	11	■		■	■		■	■	■	■	■	■	■	1676.35	3.41	0.182	0.00	0.43
52	10		■	■		■	■	■	■	■	■		■	1676.35	3.41	0.182	0.00	0.43
53	12	■	■	■	■	■	■	■	■		■	■	■	1676.36	3.42	0.181	0.00	0.43
54	10	■	■	■	■	■	■	■			■		■	1676.37	3.43	0.180	0.00	0.44
55	11	■	■	■	■	■	■	■	■			■	■	1676.38	3.43	0.180	0.00	0.44
56	10	■	■	■		■	■	■	■		■		■	1676.44	3.49	0.174	0.00	0.45
57	10	■		■	■	■	■	■			■	■	■	1676.46	3.52	0.172	0.00	0.45
58	11	■	■	■	■		■	■		■	■	■	■	1676.47	3.52	0.172	0.00	0.46
59	9	■		■		■	■	■	■	■			■	1676.49	3.55	0.170	0.00	0.46
60	10	■		■	■		■	■	■	■	■		■	1676.50	3.56	0.169	0.00	0.47
61	10			■		■	■	■	■	■	■	■	■	1676.56	3.61	0.164	0.00	0.47
62	11		■	■		■	■	■	■	■	■	■	■	1676.56	3.62	0.164	0.00	0.47
63	9	■		■	■	■	■	■			■		■	1676.60	3.65	0.161	0.00	0.48
64	8	■	■	■		■	■	■					■	1676.64	3.70	0.157	0.00	0.48
65	9	■	■	■		■	■	■				■	■	1676.64	3.70	0.157	0.00	0.49
66	11	■	■		■	■	■	■	■	■	■		■	1676.64	3.70	0.157	0.00	0.49
67	9	■		■		■	■	■			■	■	■	1676.66	3.72	0.156	0.00	0.49
68	10	■		■			■	■	■	■	■	■	■	1676.72	3.77	0.152	0.00	0.50
69	9	■		■		■	■	■	■		■		■	1676.79	3.84	0.146	0.00	0.50
70	10	■	■	■	■	■	■	■				■	■	1676.84	3.89	0.143	0.00	0.51
71	10	■		■	■	■	■	■	■			■	■	1676.85	3.90	0.142	0.00	0.51
72	9			■		■	■	■	■	■		■	■	1676.88	3.94	0.139	0.00	0.51
73	10	■		■	■	■	■	■	■	■			■	1676.89	3.95	0.139	0.00	0.52
74	9	■		■	■		■	■		■	■		■	1676.92	3.97	0.137	0.00	0.52
75	11	■	■	■	■	■	■	■			■	■	■	1676.92	3.98	0.137	0.00	0.52
76	10	■	■	■	■		■	■	■	■			■	1676.93	3.98	0.136	0.00	0.53
77	10	■			■	■	■	■	■	■	■		■	1676.94	3.99	0.136	0.00	0.53
78	8	■		■		■	■	■				■	■	1676.99	4.05	0.132	0.00	0.53
79	10	■		■	■		■	■		■	■	■	■	1677.00	4.06	0.131	0.00	0.54
80	10	■	■		■	■	■	■	■	■			■	1677.01	4.07	0.131	0.00	0.54
81	10	■	■		■	■	■	■		■	■		■	1677.07	4.13	0.127	0.00	0.54
82	8		■	■		■	■	■		■			■	1677.07	4.13	0.127	0.00	0.55
83	11		■	■	■	■	■	■		■	■	■	■	1677.09	4.14	0.126	0.00	0.55
84	9	■	■	■			■	■		■	■		■	1677.09	4.15	0.126	0.00	0.55
85	11	■			■	■	■	■	■	■	■	■	■	1677.10	4.15	0.125	0.00	0.56
model average [e]																		
β		0.13	-0.12	0.20	0.07	-0.16	0.35	-0.24	-0.10	-0.15	0.11	0.04	3.06					
variance		0.01	0.01	0.01	0.01	0.01	0.01	0.01	0.01	0.01	0.01	0.01	0.01					
relative importance		0.85	0.70	0.97	0.57	0.88	1.00	1.00	0.68	0.80	0.65	0.43	1.00					
95% CI		0.17	0.22	0.17	0.16	0.18	0.18	0.19	0.19	0.23	0.22	0.13	0.14					

Table S27. Confidence set[a] of models resulting from the information-theoretic approach and multi-model inference for abundance of large-area birds in the winter (shading indicates inclusion of the variable in each model).

model no.	K[b]	artificial land-cover	arable land-cover	cereal	tilled	fallow	horticulture	grassland land-cover	fruit tree land-cover	groves	olive	carob	citrus	almond & other fruit	vineyard land-cover	active viticulture	abandoned viticulture	boundary features	complex agriculture	scrub land-cover	scrub habitat	tree density	forest land-cover	forest habitat	unvegetated land	elevation	habitat diversity	spatial autocovariate	constant	AICc[c]	ΔAICc[d]	Relative likelihood	Akaike weights	Cumulative Akaike weights
1	10	■	■		■									■								■				■			■	1066.99	0.00	1.000	0.14	0.14
2	9	■	■		■									■								■				■		■	■	1068.37	1.38	0.501	0.07	0.22
3	9	■	■		■									■								■				■			■	1068.70	1.71	0.425	0.06	0.28
4	9	■	■		■									■												■	■	■	■	1068.95	1.96	0.375	0.05	0.33
5	9	■	■											■								■				■	■		■	1069.25	2.26	0.323	0.05	0.38
6	8		■		■									■								■				■		■	■	1069.48	2.49	0.288	0.04	0.42
7	9		■		■									■								■				■	■	■	■	1069.49	2.50	0.286	0.04	0.46
8	8	■	■		■									■												■	■	■	■	1069.76	2.77	0.250	0.04	0.50
9	7		■		■									■												■	■	■	■	1069.79	2.80	0.247	0.04	0.53
10	8		■		■									■												■	■	■	■	1069.84	2.86	0.240	0.03	0.57
11	8	■	■											■								■				■	■	■	■	1070.02	3.04	0.219	0.03	0.60
12	8	■	■											■												■	■	■	■	1070.32	3.33	0.189	0.03	0.63
13	8	■	■		■									■								■				■		■	■	1070.34	3.35	0.187	0.03	0.65
14	6		■											■												■	■	■	■	1070.66	3.67	0.159	0.02	0.68
15	7	■	■											■												■	■	■	■	1070.73	3.74	0.154	0.02	0.70
16	8		■		■									■								■				■		■	■	1070.89	3.90	0.142	0.02	0.72
17	7		■											■								■				■	■	■	■	1070.94	3.95	0.139	0.02	0.74
18	7		■											■												■	■	■	■	1070.99	4.00	0.135	0.02	0.76
19	7		■		■									■								■				■			■	1071.09	4.10	0.129	0.02	0.78
model average[e]																																		
β		0.13	-0.35		0.20									0.38								-0.18				-0.59	0.28	0.11	1.54					
variance		0.02	0.02		0.02									0.02								0.03				0.04	0.03	0.02	0.01					
relative importance		0.67	1.00		0.76									1.00								0.68				1.00	0.84	0.58	1.00					
95% CI		0.25	0.27		0.30									0.27								0.35				0.37	0.34	0.25	0.22					

Table S28. Confidence set[a] of models resulting from the information-theoretic approach and multi-model inference for species richness of large-area birds in the summer (shading indicates inclusion of the variable in each model).

model no.	*K*[b]	*artificial land-cover*	*arable land-cover*	*cereal*	*tilled*	*fallow*	*horticulture*	*grassland land-cover*	*fruit tree land-cover*	*groves*	*olive*	*carob*	*citrus*	*almond & other fruit*	*vineyard land-cover*	*active viticulture*	*abandoned viticulture*	*boundary features*	*complex agriculture*	*scrub land-cover*	*scrub habitat*	*tree density*	*forest land-cover*	*forest habitat*	*unvegetated land*	*elevation*	*habitat diversity*	*spatial autocovariate*	*constant*	*AICc*[c]	*ΔAICc*[d]	*Relative likelihood*	*Akaike weights*	*Cumulative Akaike weights*
1	8																													755.02	0.00	1.000	0.46	0.46
2	7																													755.17	0.16	0.924	0.42	0.88
model average[e]																																		
β		0.39			0.43																		-0.10			-0.41	0.37	0.33	3.56					
variance		0.01			0.01																		0.02			0.02	0.01	0.01	0.01					
relative importance		1.00			1.00																		0.52			1.00	1.00	1.00	1.00					
95% CI		0.22			0.23																		0.27			0.28	0.24	0.22	0.21					

Table S29. Confidence set[a] of models resulting from the information-theoretic approach and multi-model inference for species richness of large-area birds in the winter, model (d) (shading indicates inclusion of the variable in each model).

model no.	*K*[b]	*artificial land-cover*	*arable land-cover*	*cereal*	*tilled*	*fallow*	*horticulture*	*grassland land-cover*	*fruit tree land-cover*	*groves*	*olive*	*carob*	*citrus*	*almond & other fruit*	*vineyard land-cover*	*active viticulture*	*abandoned viticulture*	*boundary features*	*complex agriculture*	*scrub land-cover*	*scrub habitat*	*tree density*	*forest land-cover*	*forest habitat*	*unvegetated land*	*elevation*	*habitat diversity*	*spatial autocovariate*	*constant*	*AICc*[c]	*ΔAICc*[d]	*Relative likelihood*	*Akaike weights*	*Cumulative Akaike weights*
1	9	■		■	■									■												■	■	■	■	593.94	0.00	1.000	0.09	0.09
2	8		■	■	■									■												■		■	■	594.17	0.23	0.893	0.08	0.17
3	10	■	■	■	■									■										■		■	■	■	■	594.81	0.87	0.649	0.06	0.22
4	10	■	■	■	■									■												■	■	■	■	595.03	1.09	0.581	0.05	0.27
5	9		■	■	■									■												■	■	■	■	595.08	1.14	0.566	0.05	0.32
6	9		■	■	■									■										■		■		■	■	595.08	1.14	0.565	0.05	0.37
7	11	■	■	■	■									■										■		■	■	■	■	595.39	1.45	0.485	0.04	0.41
8	10		■	■	■									■										■		■	■	■	■	595.46	1.52	0.468	0.04	0.45
9	9		■	■	■																			■		■	■	■	■	596.31	2.36	0.307	0.03	0.48
10	8	■	■	■	■									■												■		■	■	596.38	2.44	0.295	0.03	0.51
11	10	■	■	■	■																			■		■	■	■	■	596.53	2.58	0.275	0.02	0.53
12	7		■	■	■									■												■		■	■	596.63	2.69	0.261	0.02	0.55
13	9	■	■	■	■									■										■		■		■	■	596.73	2.79	0.248	0.02	0.58
14	8		■	■	■									■										■		■		■	■	597.04	3.09	0.213	0.02	0.59
15	10	■	■	■	■									■										■		■	■	■	■	597.12	3.18	0.204	0.02	0.61
16	9		■	■	■									■										■		■	■	■	■	597.21	3.26	0.196	0.02	0.63
17	9	■	■	■	■									■										■		■	■	■	■	597.40	3.45	0.178	0.02	0.64
18	8		■	■	■									■												■	■	■	■	597.47	3.52	0.172	0.02	0.66
19	8		■	■	■									■										■				■	■	597.67	3.73	0.155	0.01	0.67
20	8		■	■										■										■			■	■	■	597.67	3.73	0.155	0.01	0.69
21	9		■	■																				■		■	■	■	■	597.82	3.87	0.144	0.01	0.70
22	10	■	■	■										■										■		■	■	■	■	597.90	3.95	0.138	0.01	0.71
model average[e]																																		
β		-0.05	-0.45	0.27	0.18									0.19										-0.07		-0.23	0.05	0.12	1.21					
variance		0.01	0.01	0.01	0.01									0.01										0.01		0.01	0.01	0.01	0.01					
relative importance		0.50	1.00	1.00	0.97									0.91										0.52		0.96	0.47	0.78	1.00					
95% CI		0.14	0.19	0.18	0.17									0.20										0.18		0.20	0.16	0.18	0.14					

Table S30. Confidence set[a] of models resulting from the information-theoretic approach and multi-model inference for species richness of large-area birds in the winter, model (b) (shading indicates inclusion of the variable in each model).

model no.	K[b]	artificial land-cover	arable land-cover	cereal	tilled	fallow	horticulture	grassland land-cover	fruit tree land-cover	groves	olive	carob	citrus	almond & other fruit	vineyard land-cover	active viticulture	abandoned viticulture	boundary features	complex agriculture	scrub land-cover	scrub habitat	tree density	forest land-cover	forest habitat	unvegetated land	elevation	habitat diversity	spatial autocovariate	constant	AICc[c]	ΔAICc[d]	Relative likelihood	Akaike weights	Cumulative Akaike weights
1	9	■	■	■	■									■												■		■	■	593.94	0.00	1.000	0.03	0.03
2	8		■	■	■									■												■		■	■	594.17	0.23	0.893	0.03	0.07
3	10	■	■	■	■									■												■	■	■	■	594.70	0.76	0.684	0.02	0.09
4	10	■	■	■	■									■												■		■	■	595.03	1.09	0.581	0.02	0.11
5	9		■	■	■									■												■		■	■	595.08	1.14	0.566	0.02	0.13
6	10	■	■	■	■									■												■	■	■	■	595.17	1.23	0.541	0.02	0.15
7	11	■	■	■	■									■									■	■		■	■	■	■	595.22	1.28	0.527	0.02	0.16
8	9		■	■	■									■												■	■	■	■	595.44	1.49	0.474	0.02	0.18
9	9		■	■	■									■												■	■	■	■	595.46	1.52	0.468	0.02	0.20
10	11	■	■	■	■									■												■	■	■	■	595.58	1.63	0.442	0.02	0.21
11	10	■	■	■	■									■				■								■	■	■	■	595.75	1.81	0.405	0.01	0.23
12	13	■	■	■	■									■									■	■		■	■	■	■	595.82	1.88	0.391	0.01	0.24
13	9		■	■	■									■				■								■	■	■	■	596.06	2.12	0.346	0.01	0.25
14	12	■	■	■	■									■												■	■	■	■	596.11	2.16	0.339	0.01	0.26
15	10		■	■	■									■												■	■	■	■	596.16	2.21	0.330	0.01	0.27
16	12	■	■	■	■									■									■	■		■	■	■	■	596.21	2.26	0.323	0.01	0.29
17	12	■	■	■	■									■				■					■	■		■	■	■	■	596.21	2.27	0.321	0.01	0.30
18	10		■	■	■									■									■	■		■	■	■	■	596.24	2.29	0.318	0.01	0.31
19	11	■	■	■	■									■				■								■	■	■	■	596.24	2.29	0.318	0.01	0.32
20	11	■	■	■	■									■				■								■	■	■	■	596.30	2.35	0.308	0.01	0.33
21	11	■	■	■	■									■												■	■	■	■	596.36	2.42	0.299	0.01	0.34
22	8	■	■	■	■									■												■	■	■	■	596.38	2.44	0.295	0.01	0.35
23	10		■	■	■									■												■	■	■	■	596.48	2.54	0.281	0.01	0.36
24	10		■	■	■									■				■								■	■	■	■	596.49	2.54	0.280	0.01	0.37
25	7		■	■	■									■												■	■	■	■	596.63	2.69	0.261	0.01	0.38
26	11	■	■	■	■									■									■	■		■	■	■	■	596.76	2.82	0.245	0.01	0.39
27	11	■	■	■	■									■				■								■	■	■	■	596.82	2.87	0.238	0.01	0.39
28	10	■	■	■										■									■	■		■	■	■	■	596.94	3.00	0.224	0.01	0.40
29	11		■	■	■									■									■	■		■	■	■	■	597.05	3.11	0.211	0.01	0.41
30	10	■	■	■	■									■									■	■		■	■	■	■	597.06	3.12	0.210	0.01	0.42
31	11		■	■	■									■				■								■	■	■	■	597.07	3.12	0.210	0.01	0.42
32	10		■	■	■									■				■								■	■	■	■	597.19	3.25	0.197	0.01	0.43
33	9	■	■	■	■									■												■	■	■	■	597.20	3.26	0.196	0.01	0.44
34	11	■	■	■										■									■	■		■	■	■	■	597.20	3.26	0.196	0.01	0.44
35	8		■	■	■									■												■	■	■	■	597.23	3.28	0.194	0.01	0.45
36	10		■	■	■									■				■								■	■	■	■	597.24	3.30	0.192	0.01	0.46
37	12	■	■	■	■									■				■					■	■		■	■	■	■	597.29	3.35	0.188	0.01	0.46
38	12		■	■	■									■				■					■	■		■	■	■	■	597.29	3.35	0.187	0.01	0.47
39	12	■	■	■	■									■				■								■	■	■	■	597.37	3.42	0.181	0.01	0.48
40	9	■	■	■	■									■												■	■		■	597.40	3.45	0.178	0.01	0.48
41	8		■	■	■									■												■	■		■	597.47	3.52	0.172	0.01	0.49
42	9	■	■	■	■									■												■	■		■	597.51	3.57	0.168	0.01	0.49
43	10		■	■	■									■									■	■		■	■		■	597.54	3.60	0.165	0.01	0.50
44	9	■	■	■	■									■												■	■		■	597.55	3.61	0.165	0.01	0.51
45	12	■	■	■										■				■					■	■		■	■		■	597.56	3.62	0.164	0.01	0.51

46	10																	597.60	3.65	0.161	0.01	0.52
47	10																	597.61	3.66	0.160	0.01	0.52
48	11																	597.64	3.70	0.157	0.01	0.53
49	11																	597.66	3.72	0.155	0.01	0.53
50	7																	597.82	3.88	0.144	0.00	0.54
51	8																	597.83	3.89	0.143	0.00	0.54
52	10																	597.83	3.89	0.143	0.00	0.55
53	8																	597.94	4.00	0.135	0.00	0.55
54	9																	597.98	4.04	0.133	0.00	0.56
55	10																	598.00	4.06	0.132	0.00	0.56
56	9																	598.05	4.11	0.128	0.00	0.57
57	9																	598.08	4.14	0.126	0.00	0.57
model average [e]																						
β		-0.07	-0.46	0.26	0.17				0.19		-0.02	-0.06	-0.06		-0.24	0.05	0.15	1.21				
variance		0.01	0.01	0.01	0.01				0.01		0.00	0.01	0.01		0.01	0.01	0.01	0.01				
relative importance		0.60	1.00	1.00	0.94				0.92		0.28	0.49	0.46		0.96	0.41	0.89	1.00				
95% CI		0.16	0.19	0.20	0.18				0.20		0.10	0.16	0.18		0.22	0.14	0.17	0.14				

Table S31. Confidence set[a] of models resulting from the information-theoretic approach and multi-model inference for abundance of complementing passerine birds in the summer (shading indicates inclusion of the variable in each model).

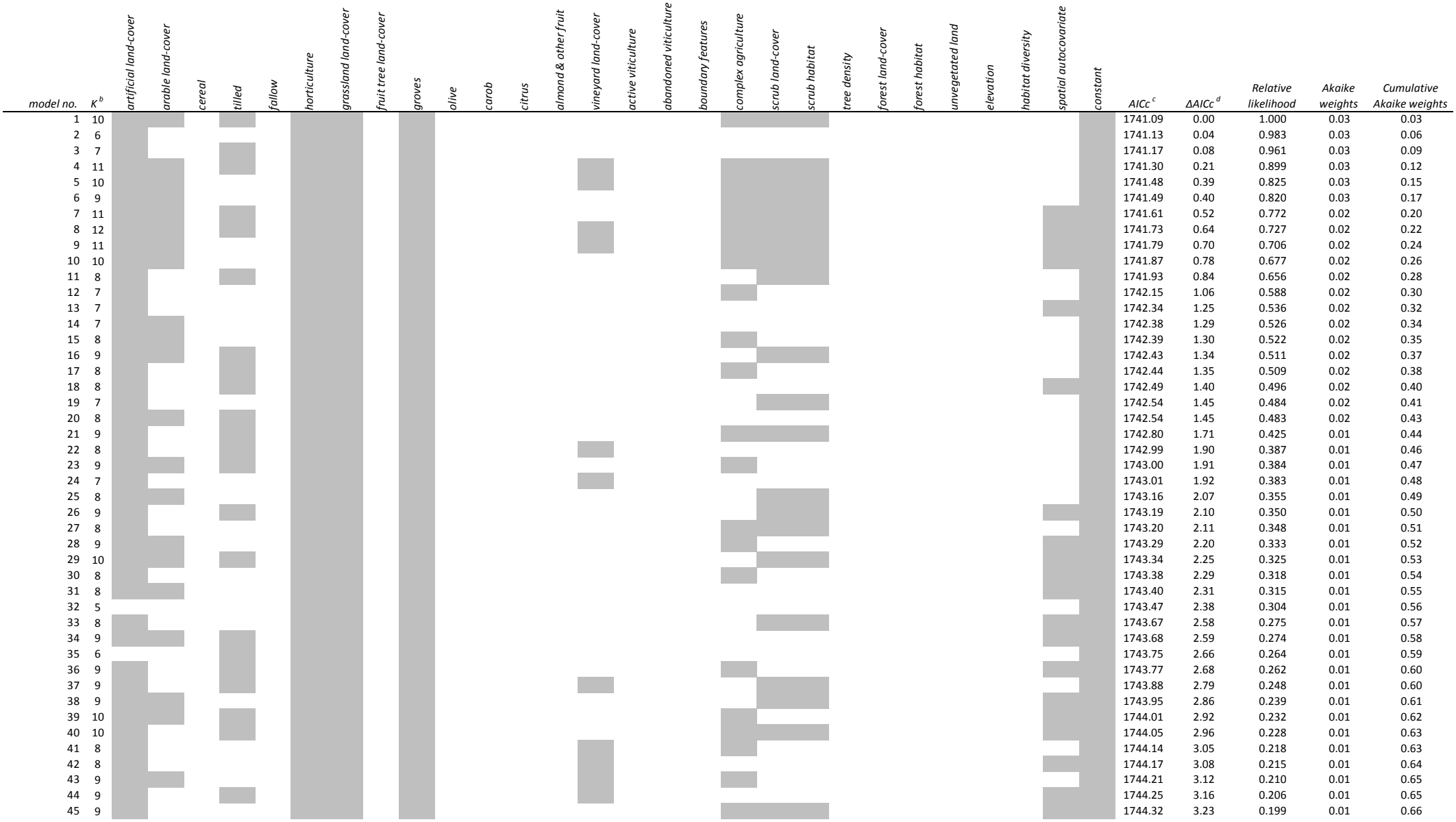

model no.	K[b]	AICc[c]	ΔAICc[d]	Relative likelihood	Akaike weights	Cumulative Akaike weights
1	10	1741.09	0.00	1.000	0.03	0.03
2	6	1741.13	0.04	0.983	0.03	0.06
3	7	1741.17	0.08	0.961	0.03	0.09
4	11	1741.30	0.21	0.899	0.03	0.12
5	10	1741.48	0.39	0.825	0.03	0.15
6	9	1741.49	0.40	0.820	0.03	0.17
7	11	1741.61	0.52	0.772	0.02	0.20
8	12	1741.73	0.64	0.727	0.02	0.22
9	11	1741.79	0.70	0.706	0.02	0.24
10	10	1741.87	0.78	0.677	0.02	0.26
11	8	1741.93	0.84	0.656	0.02	0.28
12	7	1742.15	1.06	0.588	0.02	0.30
13	7	1742.34	1.25	0.536	0.02	0.32
14	7	1742.38	1.29	0.526	0.02	0.34
15	8	1742.39	1.30	0.522	0.02	0.35
16	9	1742.43	1.34	0.511	0.02	0.37
17	8	1742.44	1.35	0.509	0.02	0.38
18	8	1742.49	1.40	0.496	0.02	0.40
19	7	1742.54	1.45	0.484	0.02	0.41
20	8	1742.54	1.45	0.483	0.02	0.43
21	9	1742.80	1.71	0.425	0.01	0.44
22	8	1742.99	1.90	0.387	0.01	0.46
23	9	1743.00	1.91	0.384	0.01	0.47
24	7	1743.01	1.92	0.383	0.01	0.48
25	8	1743.16	2.07	0.355	0.01	0.49
26	9	1743.19	2.10	0.350	0.01	0.50
27	8	1743.20	2.11	0.348	0.01	0.51
28	9	1743.29	2.20	0.333	0.01	0.52
29	10	1743.34	2.25	0.325	0.01	0.53
30	8	1743.38	2.29	0.318	0.01	0.54
31	8	1743.40	2.31	0.315	0.01	0.55
32	5	1743.47	2.38	0.304	0.01	0.56
33	8	1743.67	2.58	0.275	0.01	0.57
34	9	1743.68	2.59	0.274	0.01	0.58
35	6	1743.75	2.66	0.264	0.01	0.59
36	9	1743.77	2.68	0.262	0.01	0.60
37	9	1743.88	2.79	0.248	0.01	0.60
38	9	1743.95	2.86	0.239	0.01	0.61
39	10	1744.01	2.92	0.232	0.01	0.62
40	10	1744.05	2.96	0.228	0.01	0.63
41	8	1744.14	3.05	0.218	0.01	0.63
42	8	1744.17	3.08	0.215	0.01	0.64
43	9	1744.21	3.12	0.210	0.01	0.65
44	9	1744.25	3.16	0.206	0.01	0.65
45	9	1744.32	3.23	0.199	0.01	0.66

46	8													1744.36	3.27	0.195	0.01	0.67
47	9													1744.39	3.30	0.192	0.01	0.67
48	10													1744.40	3.31	0.192	0.01	0.68
49	6													1744.42	3.33	0.189	0.01	0.68
50	9													1744.49	3.40	0.183	0.01	0.69
51	8													1744.50	3.41	0.182	0.01	0.69
52	6													1744.70	3.61	0.165	0.01	0.70
53	10													1744.80	3.71	0.157	0.00	0.70
54	7													1744.86	3.77	0.152	0.00	0.71
55	10													1744.90	3.81	0.149	0.00	0.71
56	10													1744.94	3.85	0.146	0.00	0.72
57	10													1745.00	3.91	0.142	0.00	0.72
58	6													1745.03	3.94	0.140	0.00	0.73
59	7													1745.04	3.95	0.139	0.00	0.73
60	7													1745.09	4.00	0.135	0.00	0.74
61	10													1745.10	4.01	0.134	0.00	0.74
62	9													1745.12	4.03	0.133	0.00	0.74
63	10													1745.15	4.06	0.131	0.00	0.75
64	6													1745.18	4.09	0.129	0.00	0.75
65	9													1745.18	4.09	0.129	0.00	0.76
66	9													1745.21	4.12	0.128	0.00	0.76
model average [e]																		
β		0.16	0.08	0.07	0.34	-0.23	0.30	0.02	0.08	0.07	-0.03	3.25						
variance		0.01	0.01	0.01	0.01	0.01	0.01	0.00	0.01	0.01	0.00	0.01						
relative importance		0.93	0.53	0.51	1.00	0.99	0.99	0.29	0.52	0.52	0.34	1.00						
95% CI		0.16	0.20	0.17	0.15	0.16	0.19	0.08	0.21	0.19	0.10	0.14						

Table S32. Confidence set[a] of models resulting from the information-theoretic approach and multi-model inference for abundance of complementing passerine birds in the winter, model (b) (shading indicates inclusion of the variable in each model).

model no.	*K*[b]	*artificial land-cover*	*arable land-cover*	*cereal*	*tilled*	*fallow*	*horticulture*	*grassland land-cover*	*fruit tree land-cover*	*groves*	*olive*	*carob*	*citrus*	*almond & other fruit*	*vineyard land-cover*	*active viticulture*	*abandoned viticulture*	*boundary features*	*complex agriculture*	*scrub land-cover*	*scrub habitat*	*tree density*	*forest land-cover*	*forest habitat*	*unvegetated land*	*elevation*	*habitat diversity*	*spatial autocovariate*	*constant*	*AICc*[c]	*ΔAICc*[d]	*Relative likelihood*	*Akaike weights*	*Cumulative Akaike weights*
1	9																													1455.90	0.00	1.000	0.08	0.08
2	11																													1455.94	0.04	0.980	0.08	0.16
3	12																													1456.28	0.38	0.825	0.07	0.23
4	10																													1456.58	0.68	0.711	0.06	0.28
5	10																													1456.68	0.78	0.677	0.05	0.34
6	11																													1456.71	0.81	0.665	0.05	0.39
7	8																													1456.72	0.82	0.664	0.05	0.45
8	7																													1457.11	1.22	0.545	0.04	0.49
9	10																													1457.20	1.30	0.522	0.04	0.53
10	10																													1457.67	1.77	0.412	0.03	0.57
11	8																													1457.73	1.83	0.401	0.03	0.60
12	9																													1457.87	1.97	0.373	0.03	0.63
13	9																													1458.32	2.42	0.298	0.02	0.65
14	11																													1458.42	2.52	0.283	0.02	0.67
15	9																													1458.58	2.68	0.262	0.02	0.70
16	11																													1458.60	2.70	0.259	0.02	0.72
17	8																													1458.61	2.71	0.258	0.02	0.74
18	9																													1458.62	2.72	0.256	0.02	0.76
19	8																													1458.72	2.82	0.244	0.02	0.78
20	8																													1458.81	2.91	0.233	0.02	0.80
21	9																													1459.23	3.33	0.190	0.02	0.81
22	9																													1459.23	3.33	0.189	0.02	0.83
23	9																													1459.25	3.35	0.187	0.02	0.84
24	10																													1459.28	3.38	0.185	0.01	0.86
25	10																													1459.61	3.71	0.156	0.01	0.87
26	10																													1459.75	3.85	0.146	0.01	0.88
27	10																													1459.85	3.95	0.139	0.01	0.89
28	9																													1460.04	4.14	0.126	0.01	0.90
model average[e]																																	
β			0.09			0.13	0.30					0.28		0.35	0.29			-0.13	0.06				-0.69					0.04	2.48					
variance			0.02			0.02	0.01					0.01		0.01	0.01			0.02	0.01				0.02					0.01	0.01					
relative importance			0.50			0.68	1.00					1.00		1.00	1.00			0.67	0.40				1.00					0.37	1.00					
95% CI			0.24			0.24	0.17					0.18		0.20	0.23			0.25	0.19				0.28					0.13	0.16					

Table S33. Confidence set[a] of models resulting from the information-theoretic approach and multi-model inference for abundance of complementing passerine birds in the winter, model (c) (shading indicates inclusion of the variable in each model).

model no.	*K*[b]	*artificial land-cover*	*arable land-cover*	*cereal*	*tilled*	*fallow*	*horticulture*	*grassland land-cover*	*fruit tree land-cover*	*groves*	*olive*	*carob*	*citrus*	*almond & other fruit*	*vineyard land-cover*	*active viticulture*	*abandoned viticulture*	*boundary features*	*complex agriculture*	*scrub land-cover*	*scrub habitat*	*tree density*	*forest land-cover*	*forest habitat*	*unvegetated land*	*elevation*	*habitat diversity*	*spatial autocovariate*	*constant*	*AICc*[c]	*ΔAICc*[d]	*Relative likelihood*	*Akaike weights*	*Cumulative Akaike weights*
1	10					■	■					■		■		■		■					■	■					■	1455.43	0.00	1.000	0.10	0.10
2	11	■				■	■					■		■		■		■					■	■					■	1455.83	0.40	0.819	0.09	0.19
3	9						■					■		■		■		■					■	■					■	1455.91	0.48	0.787	0.08	0.27
4	10	■					■					■		■		■		■					■	■					■	1456.42	0.99	0.608	0.06	0.34
5	11					■	■					■		■		■		■					■	■				■	■	1456.69	1.26	0.533	0.06	0.39
6	12	■				■	■					■		■		■		■					■	■				■	■	1457.08	1.65	0.438	0.05	0.44
7	9					■	■					■		■		■		■					■	■					■	1457.15	1.72	0.422	0.04	0.48
8	10						■					■		■		■							■	■				■	■	1457.63	2.20	0.332	0.03	0.52
9	8					■	■					■		■		■													■	1457.90	2.48	0.290	0.03	0.55
10	8						■					■		■		■							■	■					■	1457.99	2.56	0.278	0.03	0.58
11	11	■					■					■		■		■		■					■	■				■	■	1458.15	2.72	0.256	0.03	0.60
12	7						■					■		■		■													■	1458.17	2.74	0.254	0.03	0.63
13	10					■	■					■		■		■		■										■	■	1458.24	2.81	0.245	0.03	0.66
14	10	■				■	■					■		■		■		■											■	1458.35	2.92	0.232	0.02	0.68
15	9					■	■					■		■		■							■	■					■	1458.73	3.30	0.192	0.02	0.70
16	8						■					■		■		■		■											■	1458.79	3.37	0.186	0.02	0.72
17	9					■	■					■		■		■												■	■	1459.27	3.84	0.147	0.02	0.74
18	11	■				■	■					■		■		■		■										■	■	1459.42	3.99	0.136	0.01	0.75
model average[e]																																		
β		-0.04				0.11	0.28					0.30		0.30		0.24		-0.19		-0.16			-0.80					0.02	2.47					
variance		0.00				0.01	0.01					0.01		0.01		0.01		0.02		0.02			0.02					0.00	0.01					
relative importance		0.35				0.62	1.00					1.00		1.00		1.00		0.84		0.73			1.00					0.29	1.00					
95% CI		0.12				0.23	0.16					0.18		0.21		0.19		0.26		0.25			0.27					0.09	0.16					

[a] Set of models for which the relative likelihood value is greater than 0.125, following Burnham and Anderson (2002).

[b] Number of parameters in the model.

[c] Akaike's Information Criterion (AIC) adjusted for small sample size (AICc).

[d] Differences between the model AICc and that of the best fitting model (ΔAICc).

[e] Model-averaged effect size (β), unconditional variance, 95% confidence interval (CI), and relative importance, following Burnham and Anderson (2002).

Reference

Burnham, K.P. & Anderson, D.R. 2002. *Model Selection and Multi-model Inference: A Practical Information-theoretic Approach* . New York: Springer.